Introduzione alla QCD perturbativa I

Massimiliano Grazzini (Firenze)

SNFT2002, Parma, Settembre 2002

- Elementi di base
- Modello a partoni
- OPE e applicazione al DIS
- Divergenze infrarosse e loro cancellazione
- Il teorema di fattorizzazione collineare
- Equazioni di Altarelli-Parisi

Elementi di base

QCD ↔ Quantum-Chromo-Dynamics



Teoria quantistica del colore

È una teoria di gauge non abeliana con gruppo di gauge $SU(N_c)$

La teoria è completamente specificata assegnando il numero quantico di colore N_c

$$\mathcal{L} = -\frac{1}{4} F^{a}_{\mu\nu} F^{\mu\nu a} + \sum_{f=1}^{N_f} \bar{\psi}^{i}_{f} \left[i \gamma^{\mu} (D_{\mu})_{ij} - m_f \delta_{ij} \right] \psi^{j}_{f}$$

- $(D_\mu)_{ij} = \delta_{ij}\partial_\mu igt^a_{ij}A^a_\mu$ Derivata covariante $i,j=1\dots N_c$
- $F^a_{\mu\nu} = \partial_\mu A^a_\nu \partial_\nu A^a_\mu + g f_{abc} A^b_\mu A^c_\nu$

Tensore di campo del gluone

Fino a qui completa analogia con QED ma il gluone A^a_μ porta carica di colore $a \Rightarrow$ mentre i fotoni sono neutri i gluoni sono carichi

- Come in QED i fermioni irraggiano
- In QCD anche i gluoni irraggiano e interagiscono tra di loro

Dividiamo \mathcal{L} in $\mathcal{L} = \mathcal{L}_{free} + \mathcal{L}_{int}$

$$\begin{split} \mathcal{L}_{int} &= \sum_{f=1}^{N_f} \bar{\psi}^i_f \gamma^\mu t^a_{ij} A^a_\mu \psi^i_f \quad \text{vertice } q \bar{q} g \\ &- g \, f^{abc} \partial^\mu A^a_\nu A^b_\mu A^{\nu c} \quad \text{vertice } ggg \\ &- \frac{1}{4} g^2 f^{abc} f^{ade} A^b_\mu A^c_\nu A^{\mu d} A^{\nu e} \quad \text{vertice } gggg \end{split}$$

Regole di Feynman

$$i \xrightarrow{p} j \xrightarrow{j} \frac{i(\not p+m)_{\alpha\beta}}{p^2-m^2+i\epsilon} \delta^{ij}$$

$$a^{\mu} a^{p} b^{\nu} \frac{i}{p^2 + i\epsilon} d^{\mu\nu}(p) \delta^{ab}$$

$$i \xrightarrow{g} j \qquad -ig(t^a)_{ij}(\gamma^\mu)_{\alpha\beta}$$

$$\mu_{2} \ a_{2} \qquad \mu_{3} \ a_{3}$$
 $p_{2} \qquad p_{3} \qquad -ig^{2} \Big[f^{ba_{1}a_{2}} f^{ba_{3}a_{4}} (g^{\mu_{1}\mu_{3}} g^{\mu_{2}\mu_{4}} - g^{\mu_{1}\mu_{4}} g^{\mu_{2}\mu_{3}}) + (2 \leftrightarrow 3) + (2 \leftrightarrow 4) \Big]$
 $\mu_{1} \quad a_{1} \qquad \mu_{4} \quad a_{4}$

Il tensore di polarizzazione $d^{\mu\nu}(p)$ è definito da una somma sulle polarizzazioni

$$d^{\mu\nu}(p) = \sum_{\lambda} \varepsilon^{\mu}_{(\lambda)}(p) \varepsilon^{\nu}_{(\lambda)}(p)$$

e dipende dalla scelta della gauge

$$d^{\mu\nu}(p) = \begin{cases} -g^{\mu\nu} + (1-\alpha)\frac{p^{\mu}p^{\nu}}{p^2+i\epsilon} & \text{gauge covarianti} \\ -g^{\mu\nu} + \frac{p^{\mu}n^{\nu} + p^{\nu}n^{\mu}}{p\cdot n} - n^2\frac{p^{\mu}p^{\nu}}{(p\cdot n)^2} & \text{gauge assiali} \end{cases}$$

Nelle gauge covarianti bisogna includere i ghost

$$a$$
 $gf^{abc} p^{\mu} \Rightarrow ext{In QED disaccoppia}$

Gauge covarianti

Tutto il campo A_{μ} propaga (polarizzazioni fisiche e non fisiche

Introducono però campi non fisici il cui contributo cancella quello delle polarizzazioni non fisiche del gluone Vantaggi: mantengono la covarianza di Lorentz anche negli step intermedi

Svantaggi: introduzione dei Ghost

Gauge fisiche

Selezionano solo due polarizzazioni trasverse $n_{\mu}A^{\mu}=0$ dove n è un 4-vettore arbitrario

Vantaggi: Niente ghost, pittura fisica piú chiara

Svantaggi: Si perde la covarianza esplicita, inoltre ci sono problemi per calcoli di loop

In pratica:

È questione di gusti: per calcoli all'ordine più basso o approssimati le gauge fisiche semplificano le cose

Algebra di colore

Il calcolo dei diagrammi di Feynman è simile alla QED a parte tener conto del fattore di colore La forma esplicita delle matrici di colore non è importante nei casi pratici

$$(T^a)_{ij}=t^a_{ij}$$
 fondamentale $(T^a)_{bc}=if_{abc}$ aggiunta

Formule ricorrenti:

$$Tr(t^at^b)=T_R \ \delta_{ab}$$
 $T_R=rac{1}{2}$ normalizzazione $(t^at^a)_{ij}=C_F \ \delta_{ij}$ $C_F=rac{N_c^2-1}{2N_c}$ $f^{abc}f^{abd}=C_A\delta^{cd}$ $C_A=N_c$

inoltre

$$Tr(T^a) = 0$$
 $\left[T^a, T^b\right] = i f^{abc} T^c$

$$a \mod j$$
 $b = Tr(t^a t^b) = T_R \delta_{ab}$

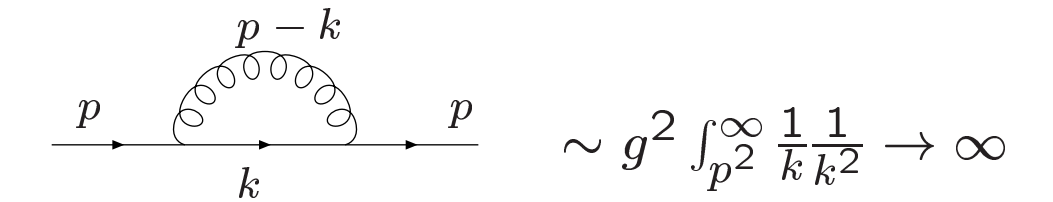
$$\frac{a \delta^{000} a}{i \quad j \quad j \quad l} = t^a_{ij} t^a_{jl} = C_F \, \delta_{il}$$

$$a \stackrel{d}{\sim} \stackrel{OO}{\sim} \stackrel{d}{\sim} b = f^{adc}f^{bdc} = C_A \delta^{ab}$$

Rinormalizzazione e running coupling

QCD è una teoria di gauge

- non abeliana
- rinormalizzabile



Le singolarità UV vengono rimosse dalla procedura di rinormalizzazione

Quantitá nude g_B (m_B) \longrightarrow Quantitá rinormalizzate g (m)

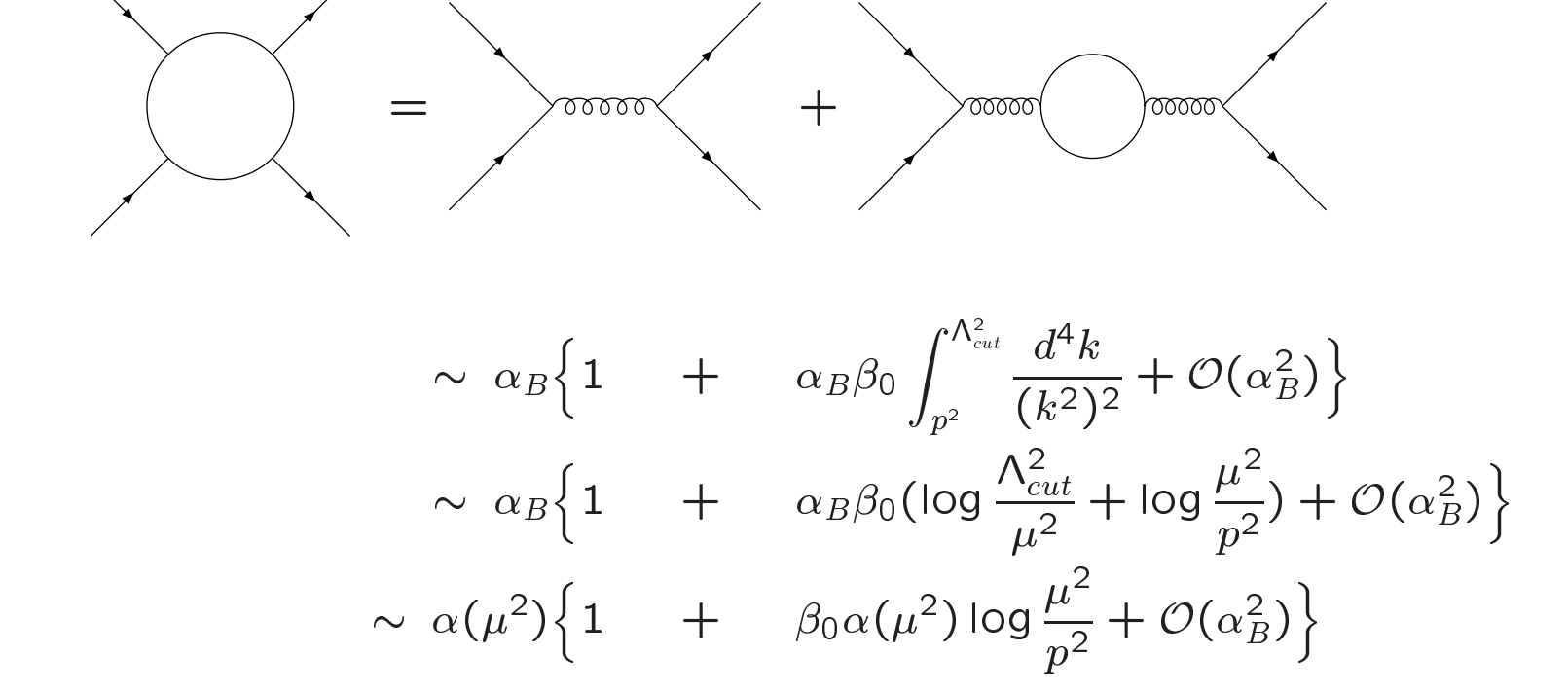
Le quantità nude sono parametri arbitrari della lagrangiana

Le quantità rinormalizzate sono quelle che hanno significato fisico

Nel seguito definiremo come in QED $\alpha_S=\frac{g^2}{4\pi}$

La rinormalizzazione si articola in due fasi

- Regolarizzazione ⇒ Permette di definire l'integrale di loop
- Sottrazione \Rightarrow Ridefinisce α_B



dove

$$\alpha(\mu^2) \equiv \alpha_B \left(1 + \beta_0 \alpha_B \log \frac{\Lambda_{cut}^2}{\mu^2} + \mathcal{O}(\alpha_B^2) \right)$$

 β_0 è il coefficiente del comportamento ultravioletto

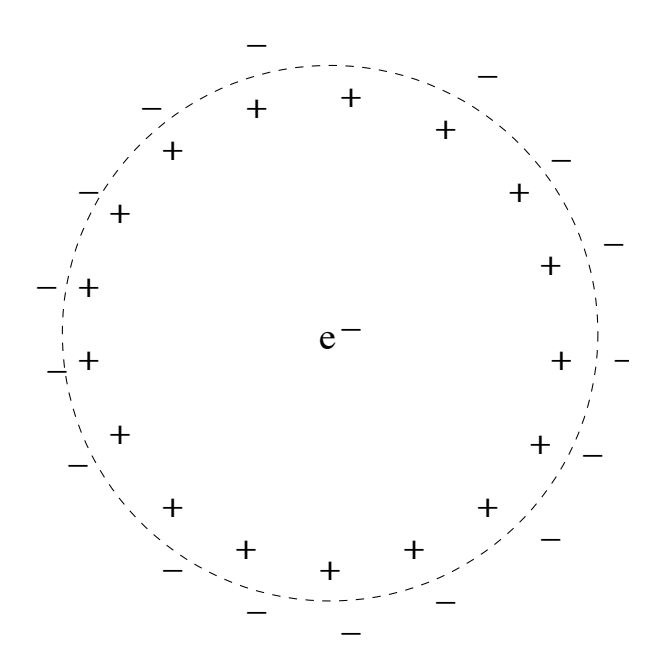
A causa dell'invarianza di gauge i termini divergenti hanno la stessa struttura di quelli presenti nella lagrangiana e possono essere riassorbiti nelle quantità nude

La teoria può essere consistentemente definita ad ogni ordine perturbativo introducendo un accoppiamento $\alpha_S(\mu^2)$ dipendente dalla scala di rinormalizzazione μ

In QED l'andamento dell'accoppiamento con la scala ha una semplice interpretazione fisica

Il vuoto attorno ad una carica puntiforme si polarizza a causa dell'emissione di coppie e^+e^- dando un effetto di screening

⇒ L'accoppiamento effettivo diminuisce a grande distanza



10

La teoria non predice il valore dell'accoppiamento α_S ma la sua dipendenza dalla scala

$$\alpha(\mu^2) \equiv \alpha_B \left(1 + \beta_0 \alpha_B \log \frac{\Lambda_{cut}^2}{\mu^2} + \mathcal{O}(\alpha_B^2) \right)$$

$$\Rightarrow \frac{d\alpha_S(\mu^2)}{d\log \mu^2} = -\beta_0 \alpha_S^2(\mu^2) + \mathcal{O}(\alpha_S^3)$$

È una delle equazioni del gruppo di rinormalizzazione



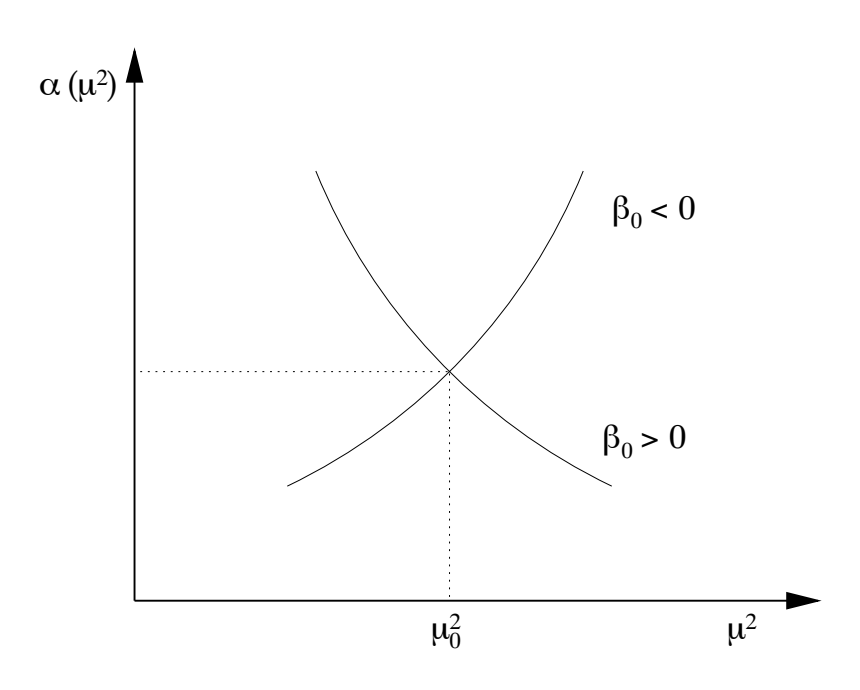
A tutti gli ordini diventa

$$\frac{d\alpha_S(\mu^2)}{d\log\mu^2} = \beta(\alpha_S(\mu^2))$$

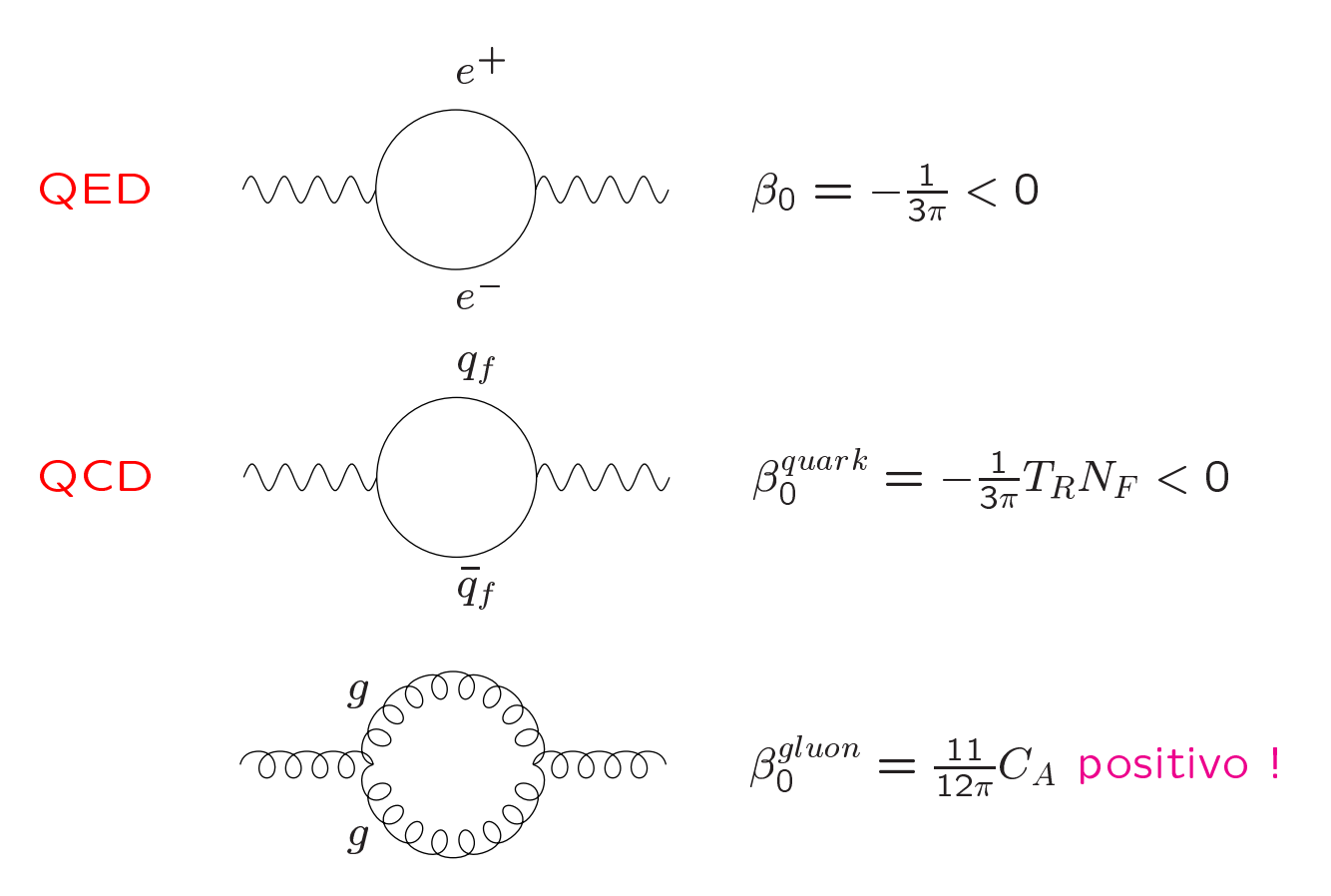
prevede l'andamento di α_S dato $\alpha_S(\mu_0^2)$

La funzione $\beta(\alpha) = -\alpha \sum_{n=1}^{\infty} \beta_{n-1} \alpha^n$ è una caratteristica della teoria

Se per una certa scala μ_0^2 si ha $\alpha_S(\mu_0^2) \ll 1 \implies$ si può dare una soluzione perturbativa dell'equazione del gruppo di rinormalizzazione



Il calcolo effettivo dà:



Intuitivamente: i gluoni sono carichi, e diffondono la carica di colore su distanze maggiori ⇒ effetto di anti-screening

- ullet In QED $eta_0 < 0$ l'accoppiamento aumenta a corte distanze
- In QCD $\beta_0=rac{11N_c-2N_F}{12\pi}>0$ se $N_F<16$
- ⇒ l'accoppiamento diminuisce a corte distanze:

LIBERTÀ ASINTOTICA



In processi con grossi momenti trasferiti possiamo usare la teoria delle perturbazioni anche se non abbiamo risolto la teoria

Il parametro Λ_{QCD}

La soluzione dell'equazione del gruppo di rinormalizzazione per α_S è

$$\alpha_S(\mu^2) = \frac{\alpha_S(\mu_0^2)}{1 + \beta_0 \alpha_S(\mu_0^2) \log \mu^2 / \mu_0^2} \left(1 + \mathcal{O}(\alpha_S(\mu_0^2)) \right)$$

Dà il valore di α_S ad una certa scala μ^2 noto α_S alla scala di riferimento μ_0^2

NOTA: Poichè una delle migliori misure di α_S si ha alla massa della Z_0 si usa dare come valore di riferimento $\alpha_S(M_Z^2)$

Come alternativa si può scegliere di dare α_S in termini di una scala di riferimento Λ_{QCD}

$$\Lambda_{QCD} = \mu_0 \exp\left[-\frac{1}{2\beta_0 \alpha_S(\mu_0^2)}\right]$$

$$\Rightarrow \alpha_S(\mu^2) = \frac{1}{\beta_0 \log \frac{\mu^2}{\Lambda_{QCD}}} \left[1 + \mathcal{O}\left(1/\log(\mu^2/\Lambda_{QCD}^2)\right)\right]$$

Attualmente $\Lambda_{QCD} \sim 200 \text{ MeV}$

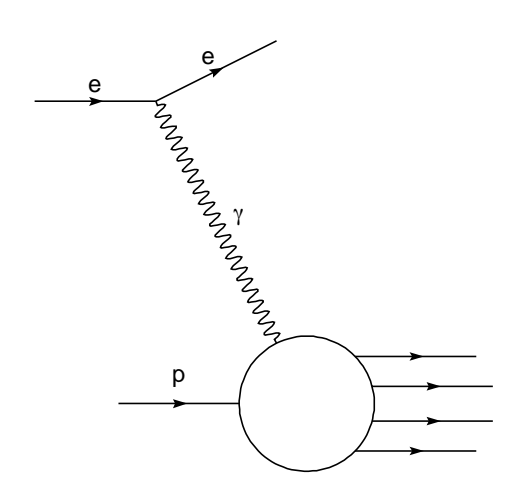
La scala λ_{QCD} segnala la regione dove l'interazione diventa realmente FORTE

 \Rightarrow Per $Q \sim \Lambda_{QCD}$ occorrerebbe una comprensione degli effetti non perturbativi

Deep Inelastic Scattering

Consideriamo il processo $e^-p \to e^-X$ nella regione $Q^2 = -q^2 = (k-k')^2 \gg \Lambda_{QCD}^2$

Questa regione è detta altamente anelastica e se $Q^2 < M_Z^2$ il processo è dominato dallo scambio di un fotone



Variabili cinematiche

$$q = k - k'$$
 $Q^2 = -q^2$ $p^2 = M^2$ $x = \frac{Q^2}{2pq}$ $y = \frac{pq}{pk}$

NB:
$$s = (p + q)^2 \ge 0 \implies x \le 1$$

Per la sezione d'urto sommata sulle polarizzazioni si può scrivere

$$k_0' \frac{d\sigma}{d^3 k'} = \frac{1}{kp} \left(\frac{\alpha}{q^2}\right)^2 L^{\mu\nu} W_{\mu\nu}$$

dove $\alpha = e^2/4\pi$ e

- $L^{\mu\nu}$ tensore leptonico
- $W_{\mu\nu}$ tensore adronico

 $L^{\mu\nu}$ è completamente calcolabile

$$L^{\mu\nu} = \frac{1}{4} Tr[k \gamma^{\mu} k' \gamma^{\nu}]$$

= $k'^{\mu} k^{\nu} + k'^{\nu} k^{\mu} + (q^2/2) g^{\mu\nu}$

mentre

$$W_{\mu\nu} = \frac{1}{2\pi} \sum_{X} (2\pi)^4 \delta^4(p_X - p - q) \frac{1}{2} \sum_{\lambda} \langle p\lambda | J_{\mu}(0) | X \rangle \langle X | J_{\nu}(0) | p\lambda \rangle$$

Usando la completezza e l'invarianza traslazionale si ha

$$W_{\mu
u}=rac{1}{2\pi}\int d^4y e^{iqy}\langle p|J_{\mu}(y)J_{
u}(0)|p
angle$$

dove si è sottintesa la media sulle polarizzazioni del protone.

 \Rightarrow La sezione d'urto per il processo è legata al valore di aspettazione sullo stato di protone del prodotto $J_{\mu}(y)J_{\nu}(0)$

Consideriamo il tensore

$$T_{\mu\nu} = i \int d^4y e^{iqy} \langle p|TJ_{\mu}(y)J_{\nu}(0)|p\rangle$$

Il teorema ottico ci permette di esprimere $W_{\mu\nu}$ come la parte assorbitiva di $T_{\mu\nu}$

$$W_{\mu
u} = rac{1}{\pi} \mathsf{Abs} \, T_{\mu
u}$$

dove

$$\mathsf{Abs}\,T_{\mu\nu} = \frac{1}{2i}\left[T_{\mu\nu}(s+i\epsilon) - T_{\mu\nu}(s-i\epsilon)\right]$$

La forma più generale di $W_{\mu\nu}$ compatibile con i requisiti di conservazione della corrente, invarianza per parità e ermiticità è

$$W_{\mu\nu} = F_1 \left(\frac{q_{\mu}q_{\nu}}{q^2} - g_{\mu\nu} \right)$$

$$+ F_2 \frac{1}{pq} \left(p_{\mu} - \frac{pq}{q^2} q_{\mu} \right) \left(p_{\nu} - \frac{pq}{q^2} q_{\nu} \right)$$

Le funzioni F_1 e F_2 sono dette funzioni di struttura del protone

Sono funzioni scalari adimensionali di p e q

Di solito si sottintende la dipendenza da M_p e si indicano con $F_i(x,Q^2)$

Alternativamente si può usare F_2 e $F_L = F_2 - 2xF_1$ ($F_2 = F_T + F_L$)

 F_L e F_T sono connesse con lo scattering da fotoni longitudinali o trasversi

Modello a partoni

Il fotone virtuale agisce da sonda per la struttura del protone

Fin dagli esperimenti di SLAC-MIT (1972) è apparso chiaro che nel limite di Bjorken definito da $Q^2 \to \infty$ e x finito le funzioni di struttura obbediscono approssimativamente alla proprietà di scaling

$$F_i(x,Q^2) \sim F_i(x)$$

La proprietà di scaling implica che il fotone virtuale diffonde su costituenti puntiformi del protone

Altrimenti F_i dovrebbe dipendere dal rapporto Q^2/Q_0^2 con Q_0^2 la scala caratteristica dei costituenti

MODELLO A PARTONI ⇒ Il protone si comporta come una collezione di partoni debolmente interagenti tra loro

Il tempo caratteristico dell'interazione tra i partoni risulta dilatato e molto maggiore del tempo di interazione con il fotone

Se la probabilità di estrarre un partone dall'adrone con frazione d'impulso ξ è $f_0(\xi)$ la sezione d'urto sarà:

$$\sigma \sim \int d\xi \, f_0(\xi) \, \hat{\sigma}(\xi p + q)$$



PRIMA IDEA DI FATTORIZZAZIONE TRA FISICA DI PICCOLE E GRANDI DISTANZE

Il modello a partoni fu introdotto molto prima di QCD (Feynman, Bjorken...) e la sua "giustificazione" a posteriori sta nella libertà asintotica

Operator Product Expansion

Il prodotto di due operatori locali A(x)B(y) è singolare quando $x-y\to 0$

La struttura della singolarità ha la forma

$$TA(x)B(y) = \sum_{k} C_k(x-y)O_k\left(\frac{x+y}{2}\right)$$

dove O_k sono operatori locali e C_k sono funzioni coefficiente che contengono la singolarità

L'OPE fu proposto da Wilson nel 1969 e una dimostrazione in teoria delle perturbazioni fu data da Zimmermann nel 1971

Si ritiene che la validità dell'OPE vada oltre il regime perturbativo

Noi saremo interessati al caso in cui A e B sono la stessa corrente locale J

Poichè QCD è piuttosto complicata lavoreremo talvolta in un modello molto più semplice ma che ne mantiene alcune proprietà, ϕ^3 in d=6 dimensioni: $(\phi^3)_6$

La lagrangiana è:

$$\mathcal{L} = \frac{1}{2} \partial_{\mu} \phi \partial^{\mu} \phi - \frac{1}{2} m^2 \phi^2 - \frac{1}{3!} \lambda \phi^3$$

- In d=6 la teoria è rinormalizzabile
- Esiste un solo accoppiamento trilineare (simula $q\bar{q}g$)

Per la corrente J possiamo scegliere l'operatore $J=\frac{1}{2}\phi^2$

In realtà dell'OPE si dà una dimostrazione in senso debole, ossia la

$$TJ(x)J(0) = \sum_{k} C_k(x)O_k(0) \qquad x \to 0$$

significa

$$\langle 0|TJ(x)J(0)\phi(x_1)..\phi(x_n)|0\rangle = \sum_k C_k(x)\langle 0|TO_k(0)\phi(x_1)..\phi(x_n)|0\rangle$$

Oppure nello spazio degli impulsi

$$G(q, p_1, ...p_n) = \sum_k C_k(q) E_k(p_1, ...p_n) \qquad q \to \infty$$

dove

$$G(q, p_1, ..., p_n) = \int d^6x d^6x_1 d^6x_n e^{iqx} e^{i(p_1x_1 + p_m x_m)}$$

$$\times \langle 0|TJ(x)J(0)\phi(x_1)...\phi(x_n)|0\rangle \Delta^{-1}(p_1)...\Delta^{-1}(p_n)$$

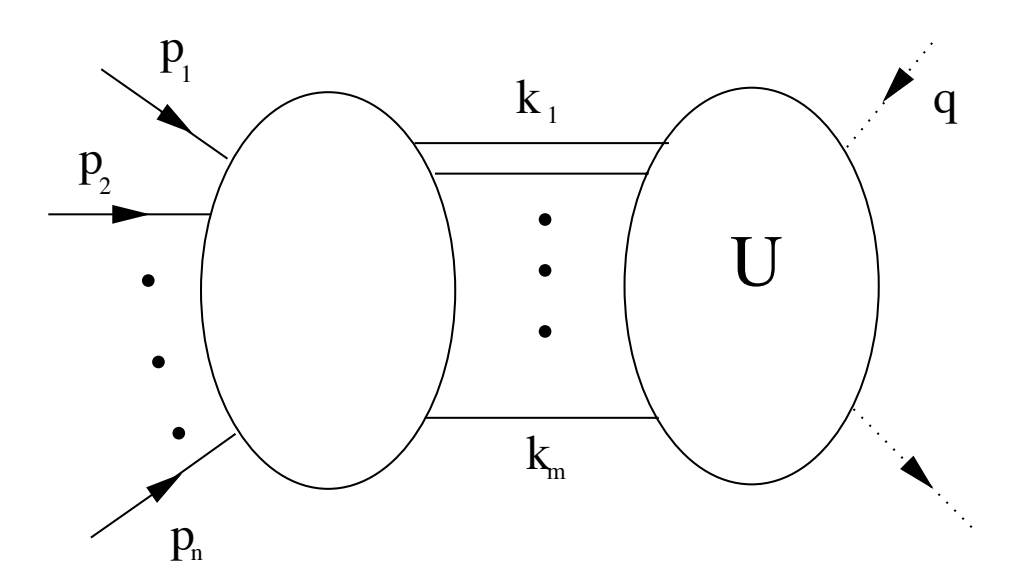
$$C_k(q) = \int d^6x e^{iqx} C_k(x)$$

$$E_k(p_1, ..., p_n) = \int d^6x_1 ... d^6x_n e^{i(p_1x_1 + p_n x_n)}$$

$$\times \langle 0|TO_k(0)\phi(x_1)....\phi(x_n)|0\rangle \Delta^{-1}(p_1)...\Delta^{-1}(p_n)$$

OPE: interpretazione

Consideriamo un generico grafico che contribuisce a $G(q, p_1...p_n)$



Consideriamo una regione nello spazio degli impulsi di integrazione nella quale i momenti di ordine q sono limitati al sottografico U

Essendo tutti gli impulsi in U di ordine q si può trascurare la dipendenza dagli impulsi k_i in U. L'andamento in q del sottografico è dettato dalla sua dimensione, che è $2d_J-2m-6=2-2m$.

 \Rightarrow Si otterrà un contributo dominante dai grafici U con m minimo, cioè due

Per quanto riguarda il resto del grafico, è come se U fosse ridotto ad un punto nel quale vanno a finire due linee, ossia il resto del grafico dà la funzione di Green con inserzione dell'operatore ϕ^2

OPE: applicazione al **DIS**

La sezione d'urto nel DIS è legata alla parte assorbitiva del tensore

$$T_{\mu\nu} = i \int d^4y e^{iqy} \langle p|TJ_{\mu}(y)J_{\nu}(0)|p\rangle$$

per grandi valori di Q^2 e x finito

Vogliamo usare l'OPE per studiare il limite altamente anelastico

Osserviamo però che nel DIS

$$Q^2 \to \infty$$
 $Q^2/2pq \sim \text{costante}$

mentre nel limite di corte distanze o di grandi q_μ si ha $Q^2\to\infty$ ma anche $x\to\infty$ il che è evidentemente un limite non fisico per il DIS

È però possibile ottenere informazioni sul DIS dall'OPE in modo indiretto.

Per semplificare le notazioni lavoreremo per ora nel caso in cui la corrente J_μ sia sostituita da un operatore hermitiano scalare J

Al posto di $W_{\mu\nu}$ avremo pertanto una sola funzione di struttura

$$W(x,Q^2) = \frac{1}{2\pi} \int d^4y e^{iqy} \langle p|J(y)J(0)|p\rangle$$

mentre l'ampiezza in avanti è

$$T(\omega, Q^2) = \frac{1}{2\pi} \int d^4y e^{iqy} \langle p|TJ(y)J(0)|p\rangle \qquad \omega = 1/x$$

L'OPE ci dice che

$$TJ(y)J(0) = \sum_{k} C_k(y)O_k(0)$$

L'indice k è un indice collettivo che include anche la sommatoria sugli indici di Lorentz, perciò l'equazione precedente si può riscrivere nella forma

$$TJ(y)J(0) = \sum_{i,n} C_{n,i}(y^2)y^{\mu_1}...y^{\mu_n}O^i_{\mu_1...\mu_n}(0)$$

Sostituendo nella definizione di $T(\omega,Q^2)$ si ottiene

$$T(\omega, Q^{2}) = \int d^{4}y e^{iqy} \langle p|TJ(y)J(0)|p\rangle$$

$$= \sum_{i,n} \langle p|O_{\mu_{1}...\mu_{n}}^{i}(0)|p\rangle \int d^{4}y y^{\mu_{1}}...y^{\mu_{n}} C_{i,n}(y^{2}) e^{iqy}$$

$$= \sum_{i,n} \langle p|O_{\mu_{1}...\mu_{n}}^{i}(0)|p\rangle C_{i,n}(Q^{2}) \left(\frac{Q^{2}}{2}\right)^{-n} q^{\mu_{1}}...q^{\mu_{n}}$$

dove il fattore $(Q^2/2)^{-n}$ nella definizione dei $C_{i,n}(Q^2)$ è stato aggiunto per convenienza.

L'elemento di matrice dell'operatore locale $O^i_{\mu_1\dots\mu_n}(0)$ si può riscrivere nella forma

$$\langle p|O^i_{\mu_1...\mu_n}(0)|p\rangle=A_{n,i}p_{\mu_1}...p_{\mu_n}+{\sf termini}\;{\sf in}\;g_{\mu_\alpha\mu_\beta}$$

Sostituendo i termini in $g_{\mu_{\alpha}\mu_{\beta}}$ danno contributi soppressi per potenze di M^2/Q^2 a ω fisso e perciò si possono trascurare

Si trova quindi

$$T(\omega, Q^2) = \sum_{i,n} A_{i,n} C_{i,n}(Q^2) \omega^n$$
 (1)

 \Rightarrow L'OPE dà informazione su $T(\omega,Q^2)$ sotto forma di una serie di potenze in ω nell'intorno dell'origine, in accordo con il fatto che la regione di grandi q_μ equivale alla regione $\omega=1/x\sim0$

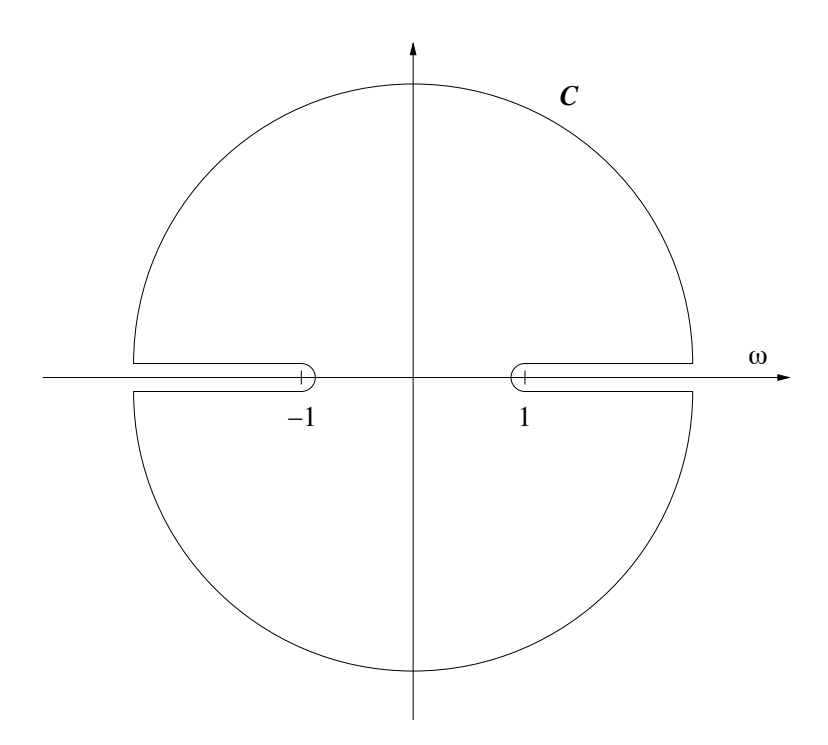
Occorre convertire questa informazione in una regione non fisica in una predizione fisica per il DIS

Ciò è possibile utilizzando una relazione di dispersione

Infatti la funzione $T(\omega,Q^2)$ sviluppa un taglio per $s\geq 0$ ossia per $\omega\geq 1$.

Inoltre per invarianza di crossing si ha

$$T(-\omega, Q^2) = T(\omega, Q^2)$$



Perciò integrando nel piano complesso ω sul contorno C in figura si ottiene

$$\frac{1}{2\pi i} \int_C \frac{T(\omega, Q^2)}{\omega^n} = \frac{2}{\pi} \int_1^\infty \frac{d\omega}{\omega^n} \operatorname{Abs} T(\omega, Q^2)$$
$$= 2 \int_0^1 dx x^{n-2} W(x, Q^2)$$

Utilizzando la (1) si ottiene infine

$$2W_n(Q^2) = \sum_i A_{n,i} C_{n,i}(Q^2)$$
 (2)

dove per una generica funzione f(x) si è definita la trasformata di Mellin

$$f_n = \int_0^1 dx \, x^{n-1} \, f(x)$$

Osserviamo ora che da una semplice analisi dimensionale l'andamento con Q^2 dei coefficienti è a meno di correzioni logaritmiche

$$C_{n,i}(Q^2) \sim rac{1}{(Q^2)^{ au_n^i/2 - d_J + d/2}}$$

dove $au_n^i=d_n^i-n$ è il twist dell'operatore $O_{i,n}$ e d_J è la dimensione della corrente

 \Rightarrow Poichè gli $A_{n,i}$ dipendono solo dalla massa del protone, il termine dominante viene dagli operatori di *twist* più basso



I momenti di Mellin della funzione di struttura fattorizzano in una parte non perturbativa legata a valori di aspettazione di operatori locali per una parte calcolabile perturbativamente. La prima è indipendente dalla corrente ma dipende solo dalla teoria, mentre la seconda dipende dal tipo di corrente considerato

- In QCD $d_J=3$ mentre il twist minimo è 2 $\Rightarrow C_n \sim (Q^2)^0$ a leading twist
- In $(\phi^3)_6$ $d_J=4$ mentre il twist minimo è 4 $\Rightarrow C_n\sim 1/Q^2$ a leading twist

Leading twist ⇔ modello a partoni

I coefficienti di Wilson $C_{n,i}(Q^2)$ obbediscono all'equazione del gruppo di rinormalizzazione

$$(\mathcal{D} + 2\gamma_J - \gamma_k) C_k(q) = 0$$

dove

- $\mathcal{D} = \mu^2 \frac{\partial}{\partial \mu^2} + \beta \frac{\partial}{\partial \alpha}$
- ullet γ_J è la dimensione anomala della corrente J
- ullet γ_k è la dimensione anomala dell'operatore locale O_k

NB Se la corrente è conservata $\gamma_J = 0$

$$\Rightarrow (\mathcal{D} - \gamma_k) C_k(q) = 0$$

La soluzione dell'equazione è

$$C_n^i(Q^2) = C_n^i(Q^2/\mu^2, \alpha_S) = \left[e^{\int_{\alpha_S}^{\alpha_S(Q^2)} d\alpha \frac{\gamma_n(\alpha)}{\beta(\alpha)}}\right]_{ij} C_n^i(1, \alpha_S(Q^2))$$

dove in generale γ_n è una matrice e l'esponenziale si intende ordinato

Se scegliamo una funzione di struttura di non singoletto, per esempio $F^{NS}(x,Q^2) = F_{2p}(x,Q^2) - F_{2n}(x,Q^2)$ si può scrivere

$$2F_n^{NS}(Q^2) = A_n^{NS}C_n^{NS}(Q^2) = f_n^{NS}(Q^2)C_n^{NS}(1,\alpha_S(Q^2))$$

dove si sono definiti i momenti della densità partonica di non singoletto come

$$f_n^{NS}(Q^2) = A_n^{NS} \left[e^{\int_{\alpha_S}^{\alpha_S(Q^2)} d\alpha \frac{\gamma_n^{NS}(\alpha)}{\beta(\alpha)}} \right]$$

È immediato verificare che

$$Q^{2} \frac{\partial}{\partial Q^{2}} f_{n}^{NS}(Q^{2}) = \gamma_{n}^{NS} \left(\alpha_{S}(Q^{2}) \right) f_{n}^{NS}(Q^{2})$$

⇒ Evoluzione secondo il gruppo di rinormalizzazione

Divergenze infrarosse

Possono originare in una teoria con particelle di massa nulla (QED, QCD) e sono di due tipi:

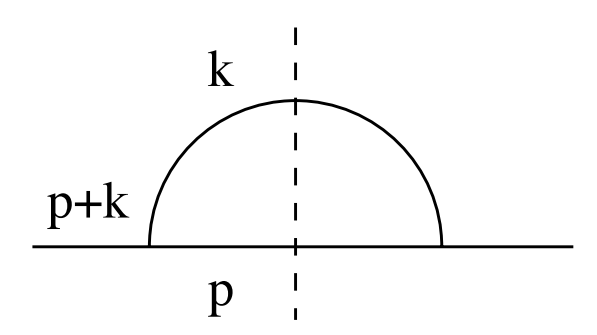
Soffice

Il quadrimpulso di una delle particelle si annulla: $p_i^\mu \to 0$ (Per esempio QED e QCD dove fotone e gluone sono a massa nulla)

Collineare

Gli impulsi di due particelle diventano paralleli: $\mathbf{p}_i \parallel \mathbf{p}_j$ Può dare origine a singolarità quando il campo a massa nulla si accoppia con altri campi a massa nulla o con se stesso

Esempio: $(\phi^3)_6$



- esistono divergenze collineari:
 - Spazio delle fasi

$$\frac{d^dk}{2k_0} \sim k_0^{d-3} dk_0 \sin^{d-3}\theta d\theta d\phi \sim \theta^2 d\theta^2$$

- Elemento di matrice

$$\lambda^2 \frac{1}{(p+k)^4} \sim \frac{1}{p_0^2 k_0^2 (1-\cos\theta)^2} \sim \frac{1}{\theta^4}$$

- \Rightarrow Spettro collineare $d\theta^2/\theta^2$
- ...ma non divergenze soffici

$$\frac{1}{k_0^2} \cdot k_0^{d-3} dk_0 \sim k_0 dk_0$$

Teoria delle perturbazioni t-ordinata

L'equazione per l'operatore di evoluzione in rappresentazione di interazione è

$$i \dot{u}_I(t) = H_I(t)u_I$$
 $(H = H_0 + V \quad H_I(t) = e^{iH_0t}Ve^{-iH_0t})$

Soluzione covariante:

$$u_I(t,-\infty) = 1 - i \int_{-\infty}^t H_I(t')dt' + (-i)^2 \int_{-\infty}^t \int_{-\infty}^{t_1} H_I(t_1)H_I(t_2)dt_1dt_2 + \dots$$

Introducendo il prodotto T si può scrivere

$$S \equiv u_I(-\infty, \infty) = T \exp \left\{ -i \int_{-\infty}^{\infty} H_I(t_1) dt_1 \right\}$$

che porta alla usuale formulazione alla Feynman

$$S = \sum_{0}^{\infty} \frac{(-i)^n}{n!} \int T \left[\mathcal{H}_I(x_1) \dots \mathcal{H}_I(x_n) \right] d^4x_1 \dots d^4x_n$$

Espansione t-ordinata ("vecchia" teoria delle perturbazioni):

La matrice S può essere scritta anche come

$$S_{fi} = \delta_{fi} - 2\pi\delta(E_f - E_i)T_{fi}$$

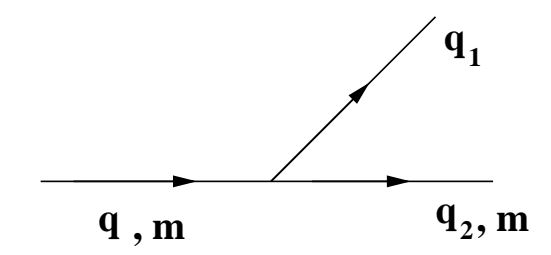
$$T_{fi} = V_{fi} + \left(V\left(\frac{1}{E_i - H_0 + i\epsilon}\right)V\right)_{fi} + \dots$$

$$= V_{fi} + \sum_{n=1}^{\infty} \int dc_1 \dots dc_n \frac{V_{fc_1} \dots V_{c_n i}}{(E_f - E_{c_1} + i\epsilon) \dots (E_{c_n} - E_i + i\epsilon)}$$

Propagatori in energia

Divergenze infrarosse e degenerazione

Nell'approccio della "vecchia" teoria delle perturbazioni le divergenze infrarosse originano dall'annullarsi di propagatori in energia e quindi da configurazioni in cui il trasferimento di energia al vertice è piccolo



Definiamo il trasferimento di energia on shell al vertice:

$$\nu \equiv \omega(\mathbf{q}_1) + \omega(\mathbf{q}_2) - \omega(\mathbf{q}_1 + \mathbf{q}_2)$$

- Limite soffice ν diventa piccolo se: $q_1 \to 0 \quad \Rightarrow \quad \omega \sim \omega_2$
- Limite collineare Nel caso m=0 a causa di una cancellazione ν diventa piccolo anche se $q_1 \parallel q_2$

$$\nu = \omega(\mathbf{q}_{1}) + \omega(\mathbf{q}_{2}) - \omega(\mathbf{q}_{1} + \mathbf{q}_{2})
= \frac{(\omega_{1} + \omega_{2})^{2} - \omega^{2}(\mathbf{q}_{1} + \mathbf{q}_{2})}{\omega_{1} + \omega_{2} + \omega(\mathbf{q}_{1} + \mathbf{q}_{2})}
= \frac{\omega_{1}^{2} + \omega_{2}^{2} + 2\omega_{1}\omega_{2} - (m^{2} + \mathbf{q}_{1}^{2} + \mathbf{q}_{2}^{2} + 2\mathbf{q}_{1}\mathbf{q}_{2})}{\omega_{1} + \omega_{2} + \omega(\mathbf{q}_{1} + \mathbf{q}_{2})}
= \frac{2(\omega_{1}\omega_{2} - \mathbf{q}_{1}\mathbf{q}_{2})}{\omega_{1} + \omega_{2} + \omega(\mathbf{q}_{1} + \mathbf{q}_{2})} \sim \frac{q_{1}q_{2}}{\omega_{1} + \omega_{2}}$$

Teoremi di cancellazione

Teorema di Block-Nordsieck:

In QED le divergenze soffici si cancellano nelle probabilità di transizione per processi inclusivi sui fotoni soffici



La somma è quindi solo sugli stati degeneri finali

In QCD ciò non è sufficiente e il teorema di Block-Nordsieck è in generale violato a causa della natura non abeliana della teoria

È valido nei casi con al massimo un partone nello stato iniziale come e^+e^- , DIS, e, a livello delle singolarità dominanti, nel Drell-Yan

Teorema di Kinoshita-Lee-Nauenberg (KLN):

In una teoria con particelle di massa nulla le divergenze IR si cancellano nelle probabilità di transizione se si somma su stati degeneri iniziali e finali

Teorema KLN

Consideriamo l'espansione della matrice secondo la vecchia teoria delle perturbazioni

$$T_{fi} = V_{fi} + \sum_{n=1}^{\infty} \int dc_1 \dots dc_n \frac{V_{fc_1} \dots V_{c_n i}}{(E_f - E_{c_1} + i\epsilon) \dots (E_{c_n} - E_i + i\epsilon)}$$

In questo approccio le divergenze infrarosse originano dall'annullarsi dei propagatori in energia

Tuttavia la singolarità è regolata dalla prescrizione $+i\epsilon$ \Rightarrow Solo negli estremi si può avere divergenza (es: $E_{c_1} = E_f$)

Gli stati intermedi pericolosi sono quindi solo quelli degeneri con i e f

Indichiamo con $P_i(P_f)$ il proiettore sugli stati degeneri con i(f) e definiamo $P_{if} = 1 - P_i - P_f$

Il contributo degli stati degeneri può essere trascurato se non porta a divergenze ⇒ possiamo scrivere

$$T_{fi} = \sum_{a,b,c=0}^{\infty} \left[\left(V \frac{P_f}{E_f - H_0 + i\epsilon} \right)^a V \left(\frac{P_{if}}{E_f - H_0 + i\epsilon} V \right)^b \left(\frac{P_i}{E_i - H_0 + i\epsilon} V \right)^c \right]_{fi}$$

oppure

$$T_{fi} = \Omega_{-f}^{\dagger} T_H \Omega_{+i}$$

dove

$$\Omega_{\pm a} = \sum_{c=0}^{\infty} \left(\frac{P_a}{E_a - H_0 \pm i\epsilon} V \right)^c \quad a = i, f$$

$$T_H = \sum_{c=0}^{\infty} V \left(\frac{P_{if}}{E_i - H_0 + i\epsilon} V \right)^c \quad \text{operatore IR finito}$$

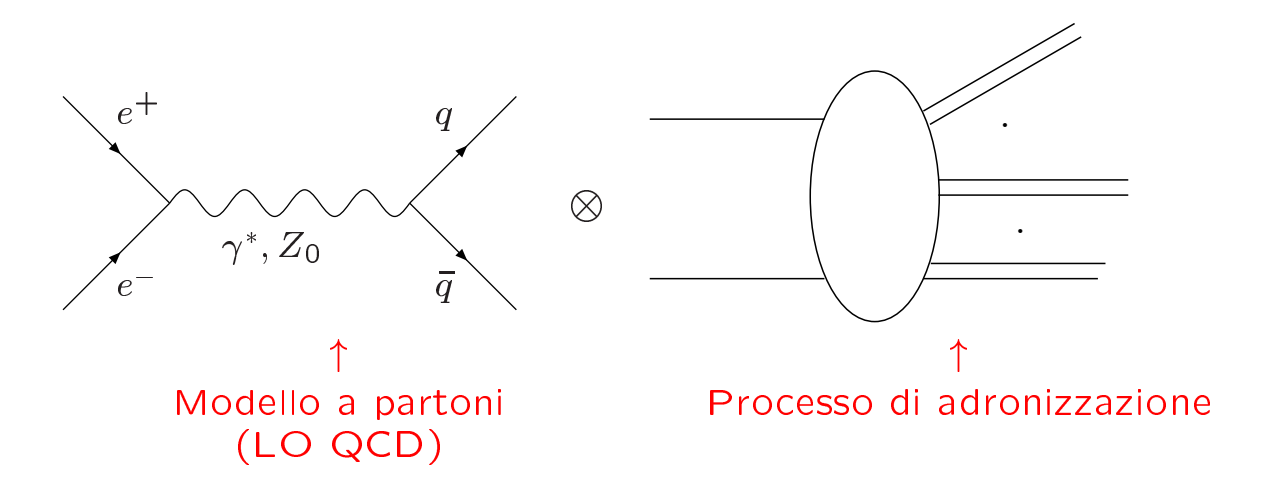
Osserviamo ora che se non fosse per i proiettori P_i, P_f gli operatori Ω_{-f} e Ω_{+i} sarebbero unitari in quanto operatori di evoluzione

- Ω_{+i} evolve da $t=-\infty$ a t=0
- Ω_{-f}^{\dagger} evolve da t=0 a $t=\infty$
 - \Rightarrow Allora sono unitari se ristretti al sottospazio degli stati degeneri con i e f

$$\sum_{\beta \in D(f)} \sum_{\alpha \in D(i)} |T_{\beta \alpha}|^2 = \sum_{\beta \in D(f)} \sum_{\alpha \in D(i)} (\Omega_{+i}^{\dagger})_{\alpha a} (T_H^{\dagger})_{ab} (\Omega_{-f})_{b\beta}$$
$$\cdot (\Omega_{-f}^{\dagger})_{\beta c} (T_H)_{cd} (\Omega_{+i})_{d\alpha} = |(T_H)_{fi}|^2$$

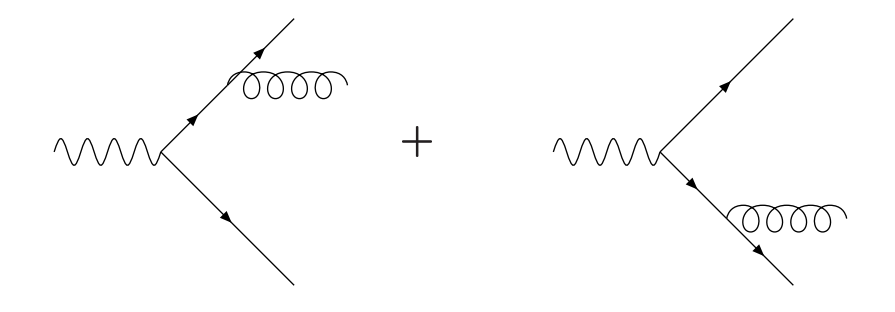
In questo modo la cancellazione è una conseguenza diretta della proprietà di unitarietà della teoria

Annichilazione $e^+e^- \rightarrow adroni$

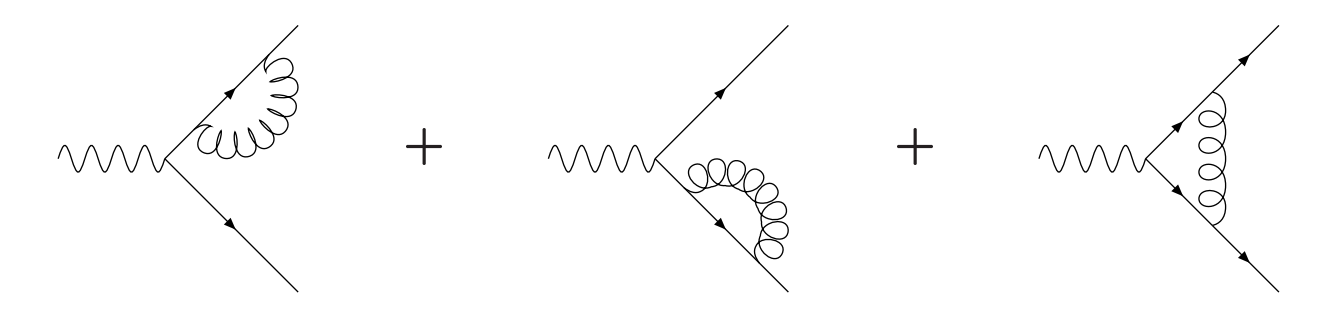


Consideriamo le correzioni $\mathcal{O}(\alpha_S)$ alla sezione d'urto partonica:

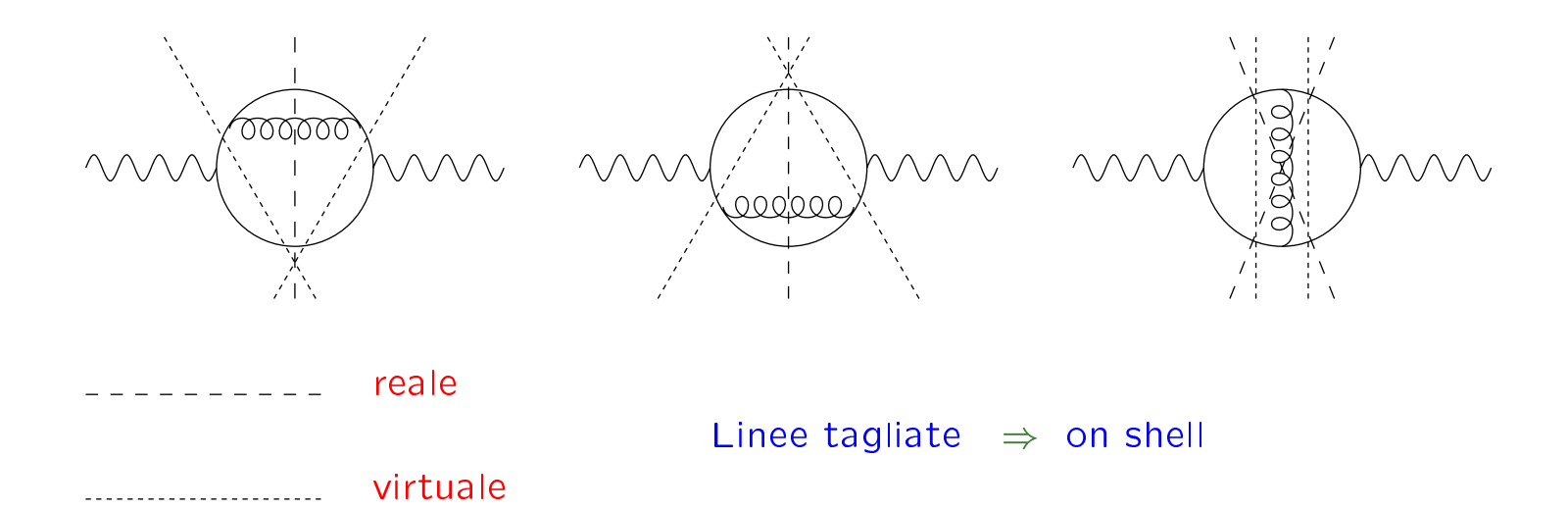
Reali



Virtuali



Prendendo il modulo quadro reale e virtuale hanno simile struttura ma cinematica diversa



- Reale e virtuale sono separatamente divergenti (calcolo esplicito → Lorenzo Magnea)
- Le differenze cinematiche influenzano solo le parti finite
- Il segno è opposto per unitarietà

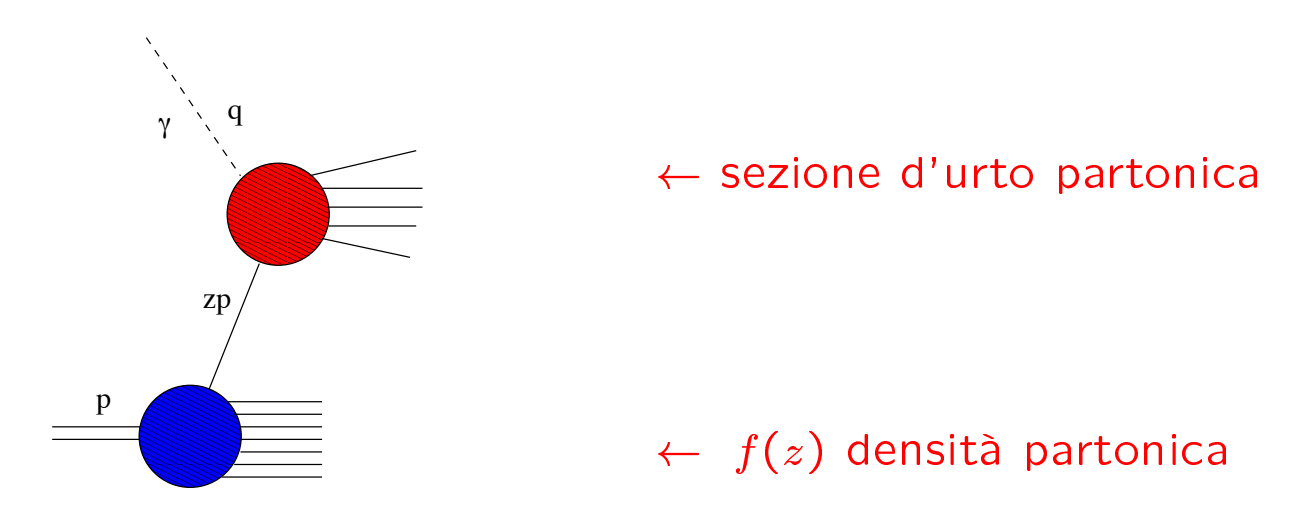
⇒ La divergenza nel reale e virtuale si cancella e si ottiene un contributo totale finito

Tutto ciò è in accordo con il teorema KLN: lo stato finale è completamente inclusivo e quindi si somma sugli stati degeneri finali

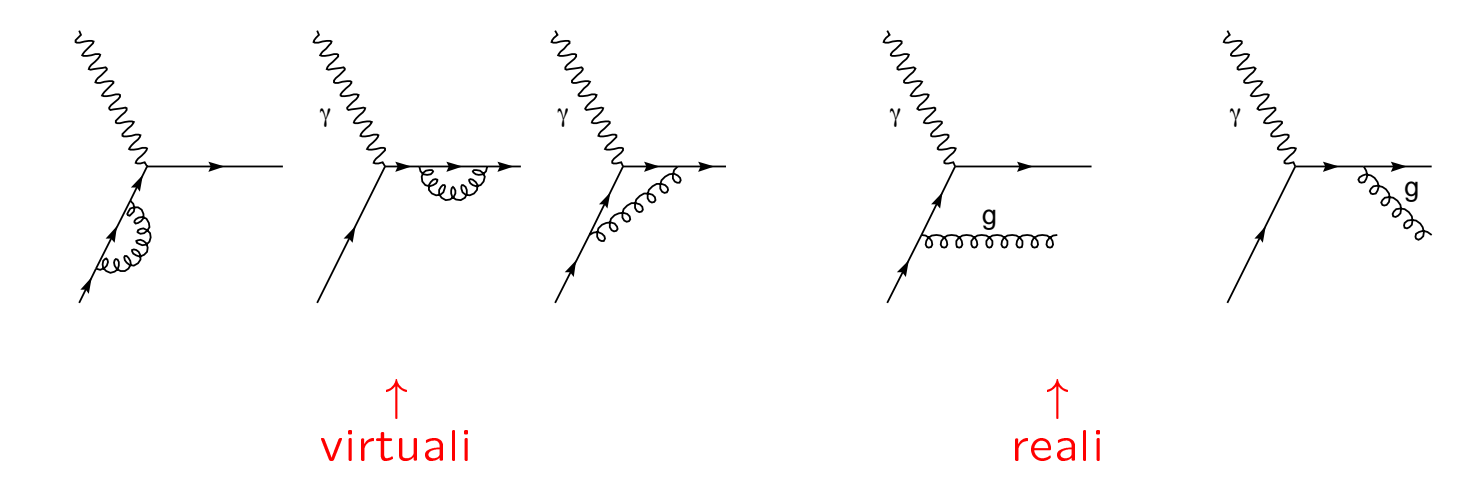
33

Processi duri con adroni nello stato iniziale

Consideriamo ad esempio il DIS:



Correzioni alla sezione d'urto partonica:



Nel calcolo compaiono divergenze infrarosse

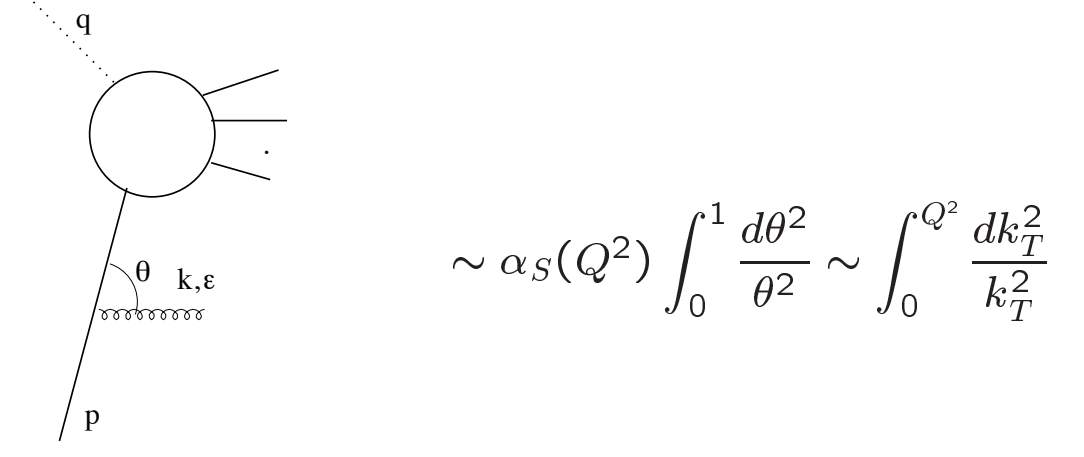
Stato finale completamente inclusivo

⇒ KLN: cancellazione delle divergenze di stato finale

Tuttavia nello stato iniziale c'è un solo partone

⇒ rimane una divergenza di stato iniziale non cancellata

NB: Succede ogni volta che si hanno adroni nello stato iniziale



In realtà la divergenza collineare è regolarizzata da un cut off fisico Q_0 rappresentato dalla tipica scala adronica

$$\Rightarrow \int_{0}^{Q^{2}} \frac{dk_{T}^{2}}{k_{T}^{2}} \to \int_{Q_{2}^{2}}^{Q^{2}} \frac{dk_{T}^{2}}{k_{T}^{2}} \to \log Q^{2}/Q_{0}^{2}$$

La divergenza collineare non cancellata implica l'esistenza di effetti di lunga distanza

Da notare che l'emissione multipla produce contributi del tipo $\alpha_S^n \left(\int_{Q_0^2}^{Q^2} \frac{dk_T^2}{k_T^2} \right)^n$ che vanno risommati a tutti gli ordini per avere una predizione perturbativa accettabile

Infatti essendo $Q_0 \sim \Lambda_{QCD} \ \Rightarrow \ \alpha_S \log Q^2/Q_0^2$ può essere ~ 1

Sia la sensitività all'infrarosso che il calcolo degli effetti a tutti gli ordini vengono risolti dal

TEOREMA DI FATTORIZZAZIONE COLLINEARE

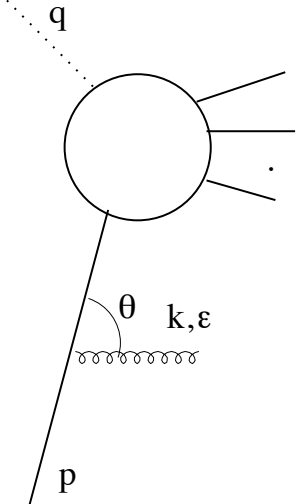
In breve: le divergenze collineari possono essere riassorbite nelle densità partoniche nude $f_0(x) \to f(x,Q^2)$ (analogia con la rinormalizzazione)

Le densità partoniche fisiche diventano perciò dipendenti dalla scala

Tutto questo è possibile se questa operazione è indipendente dal processo duro considerato

Fattorizzazione collineare

Usiamo: power counting + gauge fisica



Emissione collineare di un gluone

• Spazio delle fasi

$$\frac{d^3k}{2k_0} \sim k_0 dk_0 d\cos\theta d\phi \sim d\theta^2$$

- Elemento di matrice
 - Propagatore:

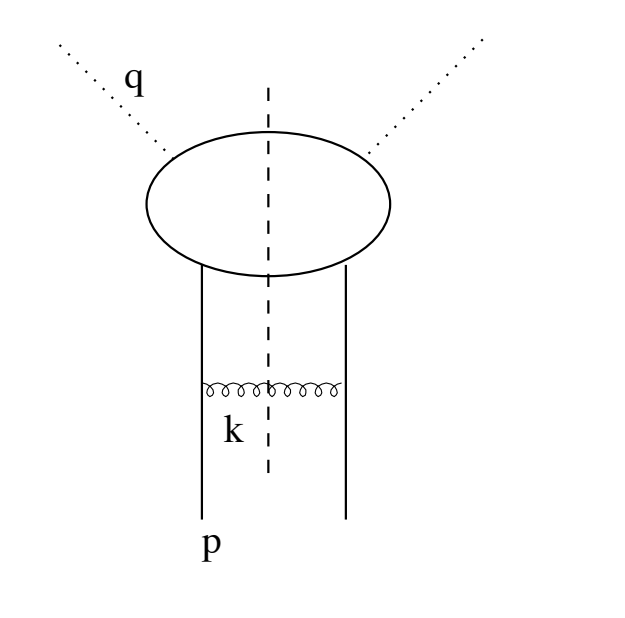
$$\frac{1}{(p-k)^2} \sim \frac{1}{p_0^2 k_0^2 (1-\cos\theta)} \sim \frac{1}{\theta^2}$$

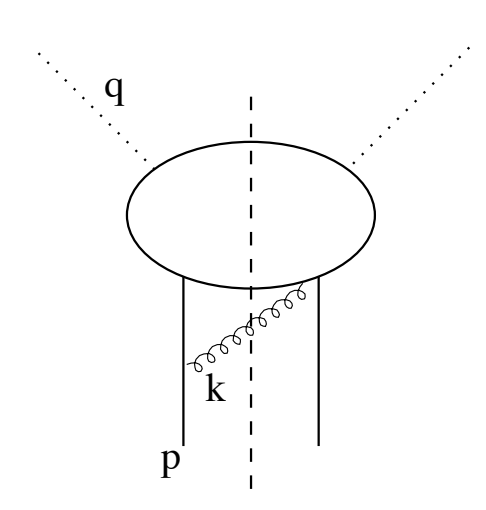
– Vertice:

$$p \not\in (k) (p - k) \sim \theta$$
 In gauge fisica

(infatti nel limite collineare
$$k \propto p + \mathcal{O}(\theta)$$
 e in gauge fisica $\varepsilon(p) \cdot p = 0$)

Prendendo il modulo quadro:





$$d\theta^2 \frac{1}{\theta^2} \frac{1}{\theta^2} \theta\theta \sim \frac{d\theta^2}{\theta^2}$$

$$rac{d heta^2}{ heta^2} heta$$
 non abbastanza singolare

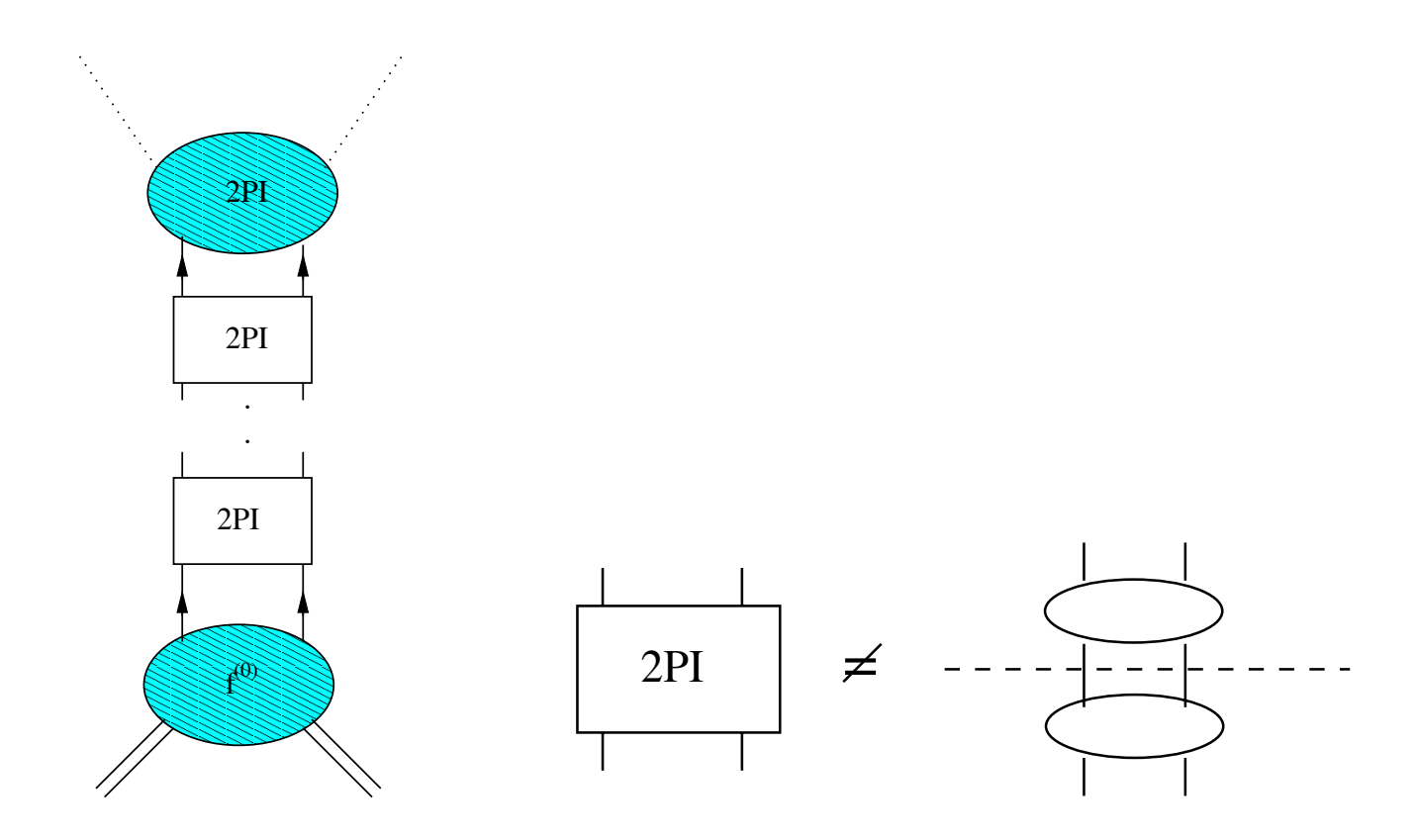
⇒ Solo i diagrammi diretti possono dare singolarità in gauge fisica, mentre le interferenze possono essere trascurate

NB: Succede anche in $(\phi^3)_6$

NB: In gauge covarianti invece anche le interferenze contribuiscono ma il risultato finale è lo stesso

Strategia:

• Decomporre i diagrammi in blocchi 2PI (che non possono essere disgiunti tagliando solo due linee)

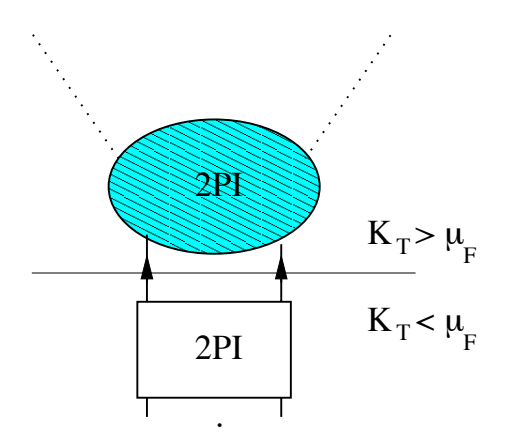


Si può dimostrare che i blocchi 2PI sono privi di singolarità collineari in gauge fisica

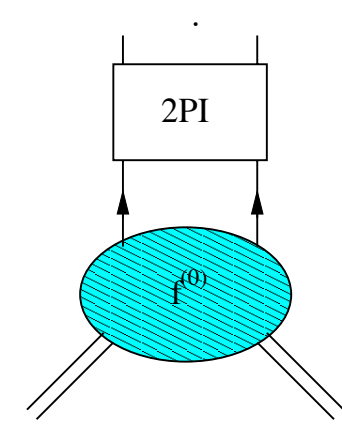
⇒ Le singolarità originano esclusivamente dalle linee che connettono tra loro i vari blocchi

38

ullet Introdurre una scala arbitraria di separazione μ_F



← Dipendente dal processo ma finita



← Universale ma divergente

$$\int_{Q_0^2}^{Q^2} \frac{dk_T^2}{k_T^2} = \int_{Q_0^2}^{\mu_F^2} \frac{dk_T^2}{k_T^2} + \int_{\mu_F^2}^{Q^2} \frac{dk_T^2}{k_T^2}$$

ullet Riassorbire la parte divergente nella definizione di f(x)

$$f^{(0)} E(\mu_F^2/Q_0^2) \hat{\sigma}(Q^2/\mu_F^2) \equiv f(\mu_F^2) \hat{\sigma}(Q^2/\mu_F^2)$$

Più precisamente:

$$\sigma(p,Q) = \sum_{a} \int_{0}^{1} dz f_{a}(z,\mu_{F}^{2}) \ \hat{\sigma}_{a}(zp,\alpha_{S}(Q^{2});\mu_{F}^{2})$$

$$\uparrow$$

Densità partonica dipendente dalla scala: non calcolabile perturbativamente ma universale

Sezione d'urto partonica opportunamente sottratta, finita e calcolabile perturbativamente

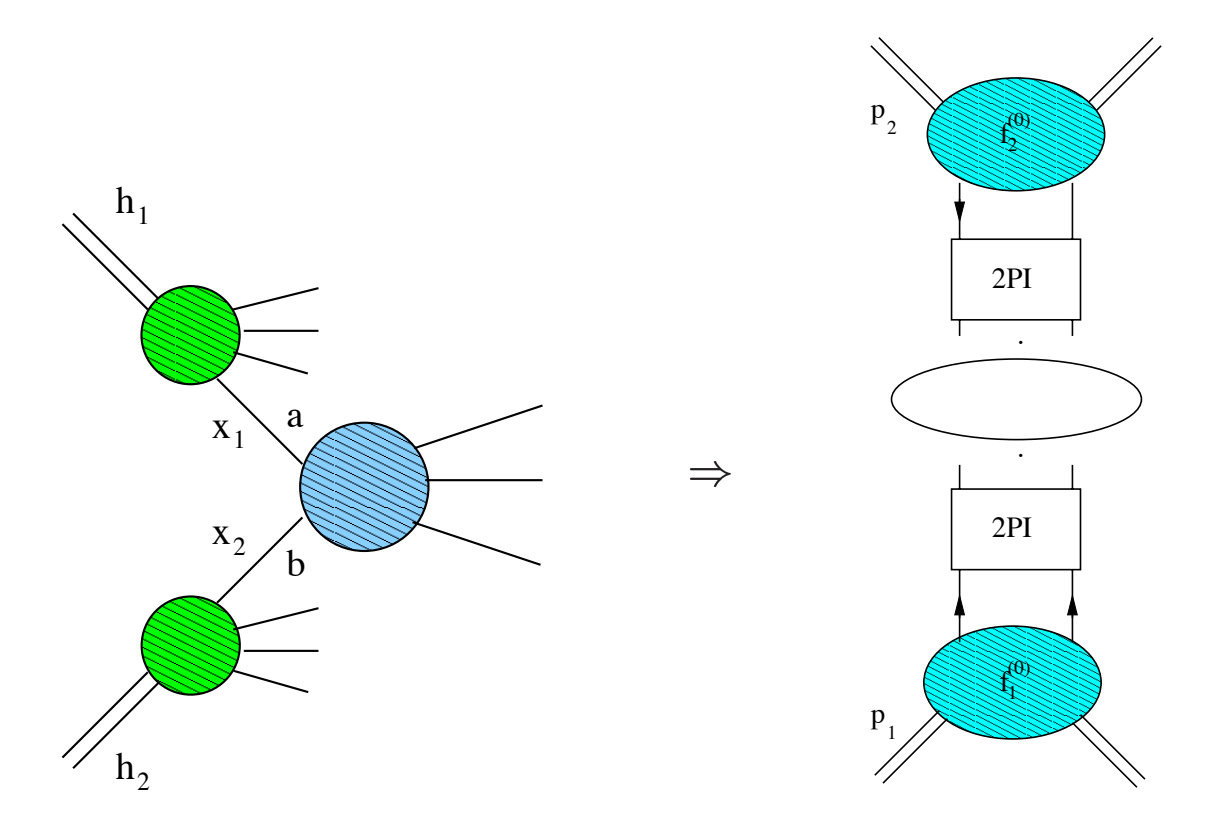
Collisioni adroniche: Drell-Yan

DY:
$$h_1(p_1) + h_2(p_2) \to V(Q^2) + X \ (V = \gamma^*, Z^*, H...)$$

Processo duro caratterizzato dalla grossa massa invariante Q^2 di ${\cal V}$

NB: La sezione d'urto totale è invece "soffice": niente scala dura \Rightarrow non è calcolabile in QCD perturbativa

Per la fattorizzazione valgono gli stessi argomenti che per il DIS



La formula di fattorizzazione è:

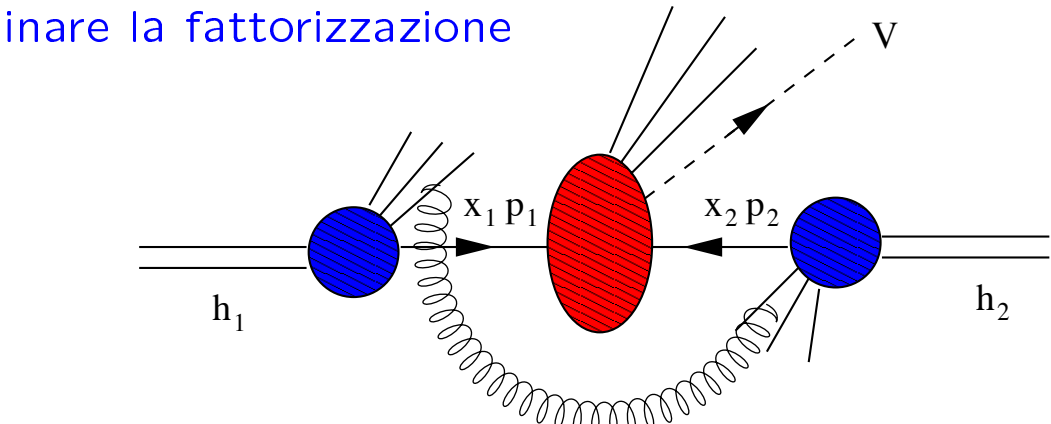
$$\sigma(p_1, p_2; Q^2) = \sum_{a,b} \int_0^1 dx_1 \int_0^1 dx_2 f_{h_1,a}(x_1, \mu_F^2) f_{h_2,b}(x_2, \mu_F^2)$$

$$\times \hat{\sigma}_{ab}(x_1 p_1, x_2 p_2, \alpha_S(Q^2), \mu_F^2)$$

e le densità partoniche sono le stesse che si misurano nel DIS

Problema: La dimostrazione che i gluoni soffici non rovinano la fattorizzazione è molto complicata

I gluoni soffici (grande lunghezza d'onda) possono trasportare l'informazione di colore da un adrone all'altro e quindi rov-



Calcoli espliciti hanno mostrato che la presenza di due adroni nello stato iniziale rompe la fattorizzazione ma gli effetti sono soppressi a potenza nel limite di alta energia

Interpretazione intuitiva:

Potenziale classico di una carica e che si muove con velocità v lungo l'asse z:

$$A^{\mu} = \frac{e}{\left[(z - vt)^2 + (1 - v^2)(x^2 + y^2)\right]^{1/2}} (1, 0, 0, v)$$

Per $v \rightarrow 1$

$$A^{\mu} \sim rac{e}{|z-vt|} (1,0,0,1)$$

La particella genera un potenziale non localizzato che si estende lungo tutta la direzione \boldsymbol{z}

Però per $z \neq vt$

$$A^{\mu} \sim rac{\partial}{\partial x_{\mu}} e \log |z-vt| \;\; {
m puro \; gauge \; !}$$

 \Rightarrow Il campo $F_{\mu\nu}$ non è a lungo range ma confinato attorno a $z\sim vt$

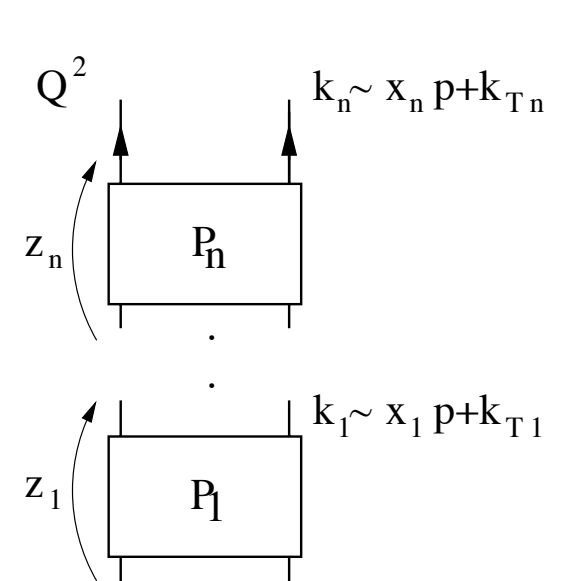
Conseguenze del teorema di fattorizzazione:

$$\sigma(Q^2) = f(\mu_F^2) \otimes \hat{\sigma}(\alpha_S(Q^2), \mu_F^2)$$

- a) Introduzione di una scala arbitraria μ_F La sezione d'urto fisica non può dipendere da μ_F \Rightarrow la dipendenza da μ_F si deve cancellare tra f e $\hat{\sigma}$
 - La scelta di μ_F è arbitraria ma se μ_F è molto diversa dalla scala dura Q \Rightarrow compaiono $\log Q^2/\mu_F^2$ che rovinano l'espansione perturbativa
 - \Rightarrow di solito si sceglie $\mu_F \sim Q$
- b) Le densità partoniche diventano dipendenti dalla scala La dipendenza dalla scala delle densità partoniche è associata alla risommazione dei logaritmi collineari
- c) La dipendenza dalla scala è calcolabile perturbativamente
 - ⇒ Equazioni di Altarelli-Parisi

Equazioni di Altarelli-Parisi

Le densità partoniche $f_i(x,Q^2)$ non sono calcolabili in QCD perturbativa ma la loro dipendenza da Q^2 lo è



$$f(\mu_F^2) = f_0 \otimes E(\mu_F^2/Q_0^2)$$

La regione importante è:

$$Q^2 > k_{Tn}^2 > \dots k_{T1}^2 > Q_0^2$$

Infatti è così che si genera la massima potenza di $\log Q^2/Q_0^2$

⇒ Struttura iterativa

$$f(x,Q^2) = f_0(x) + \int_{Q_0^2}^{Q^2} \frac{dk_{Tn}^2}{k_{Tn}^2} \int_x^1 \frac{dz_n}{z_n} P_n(\alpha_S(k_{Tn}^2), z_n) f(x/z_n, k_{Tn}^2)$$

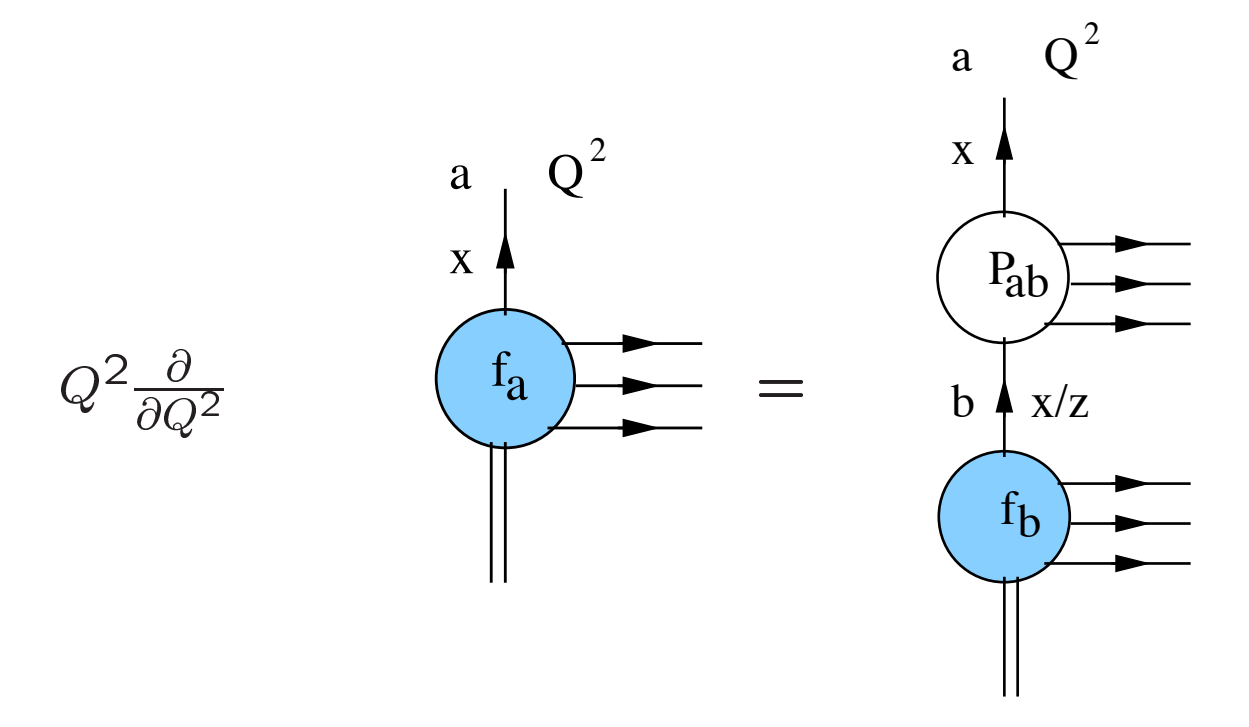
Derivando rispetto a Q^2

10)

$$Q^2 \frac{\partial f(x, Q^2)}{\partial Q^2} = \int_x^1 \frac{dz}{z} P(\alpha_S(Q^2), z) f(x/z, Q^2)$$

Equazione differenziale del primo ordine: può essere risolta se è nota f ad una scala di riferimento Q_0^2 (tipicamente misurata sperimentalmente)

Interpretazione probabilistica



- $P_{ab}(\alpha_S(Q^2),z)$ probabilità di trovare il partone a nel partone b alla scala Q^2
- $P_{ab}(\alpha_S, z) = \frac{\alpha_S}{2\pi} P_{ab}^{(0)}(z) + (\frac{\alpha_S}{2\pi})^2 P_{ab}^{(1)}(z) + \dots$

kernel di Altarelli-Parisi: calcolabile perturbativamente in serie di α_S

- $P_{ab}^{(0)}$, $P_{ab}^{(1)}$ note
 - Risolvere l'equazione di AP utilizzando $P_{ab}^{(0)}$ equivale a risommare i *logaritmi leading* (LL): $\alpha_S^n \log^n Q^2/Q_0^2$
 - Includere anche $P_{ab}^{(1)}$ equivale a risommare anche quelli next-to-leading (NLL): $\alpha_S^n \log^{n-1} Q^2/Q_0^2$
- Convoluzione ↔ conservazione dell'impulso longitudinale

44

NB: Prendendo la trasformata di Mellin i prodotti di convoluzione diventano prodotti ordinari:

$$(f \otimes g)(x) \equiv \int_{x}^{1} \frac{dz}{z} f(z) g(x/z)$$

 $(f \otimes g)_{N} = f_{N} \cdot g_{N}$

Confrontando con quanto avevamo ottenuto con l'OPE si conclude che:

$$\gamma_{ab}(N) \iff \int_0^1 x^{N-1} P_{ab}(z)$$

- \bullet $\gamma_{ab}(N)$ dimensioni anomale degli operatori di leading twist
- $P_{ab}(z)$ probabilità di splitting $b \to a$

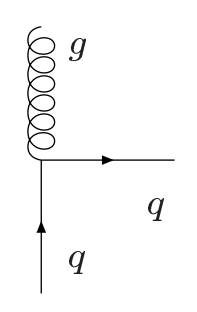
In questo modo l'equazione di Altarelli-Parisi ha un interpretazione più fisica rispetto a quella che le diamo a partire dall'OPE dove essa è semplicemente una conseguenza del gruppo di rinormalizzazione

Funzioni di splitting di AP

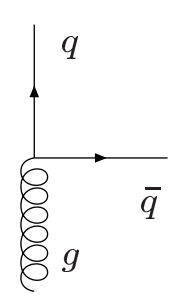
$$\begin{array}{c|c} q & & q \\ \hline \\ q & & \\ q & & q \end{array}$$

$$P_{qq}(z) = C_F \left[\frac{1+z^2}{(1-z)_+} + \frac{3}{2} \delta(1-z) \right]$$

$$P_{gg}(z) = 2C_A \left[\frac{z}{(1-z)_+} + \frac{1-z}{z} + z(1-z) \right] + \left(\frac{11}{6}C_A - \frac{2}{3}T_R n_F \right) \delta(1-z)$$



$$P_{gq}(z) = C_F \left[\frac{1 + (1-z)^2}{z} \right]$$

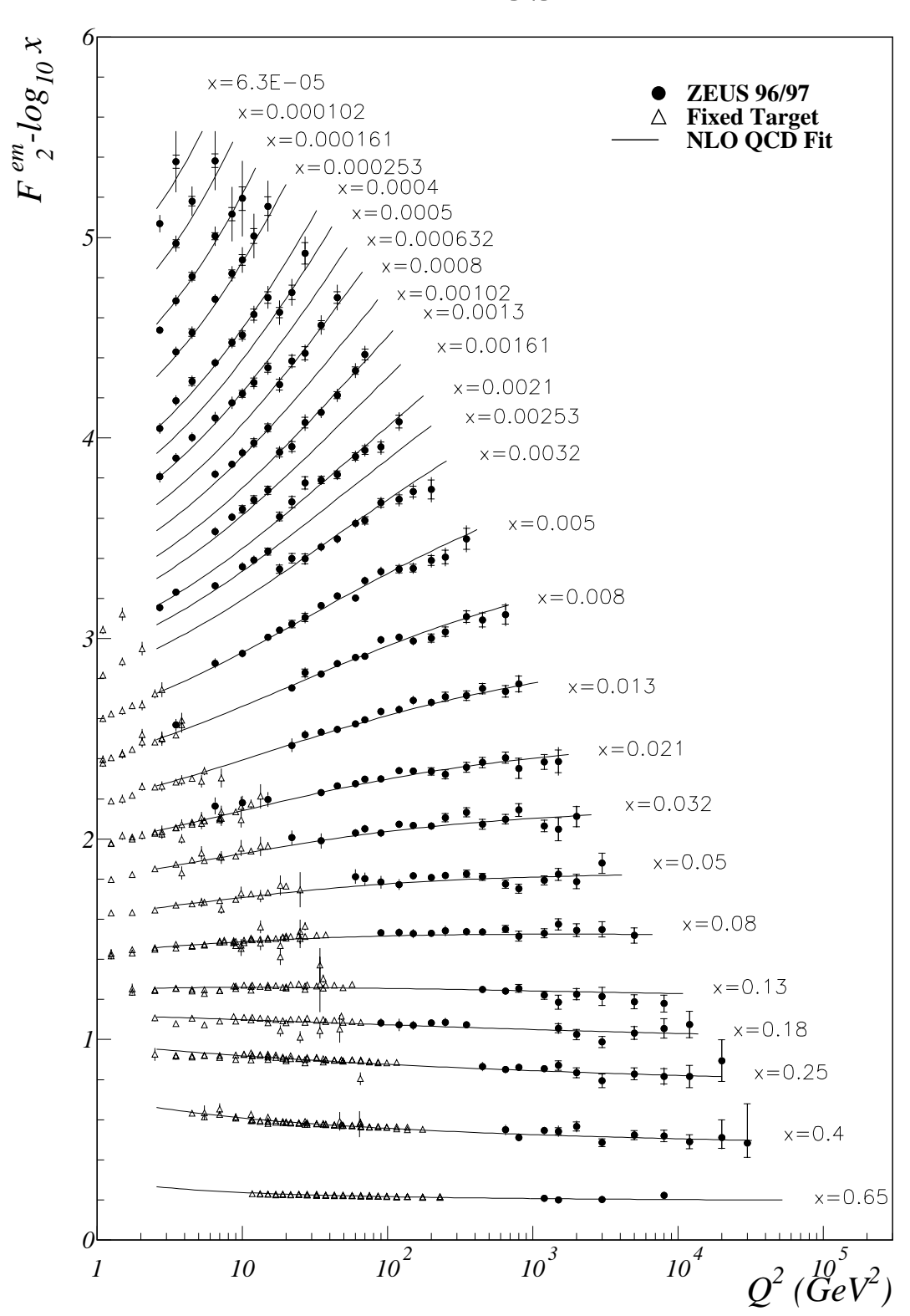


$$P_{qg}(z) = T_R [z^2 + (1-z)^2]$$

Proprietà:

$$P_{qq}
ightarrow rac{2C_F}{(1-z)_+} \qquad P_{gg}
ightarrow rac{2C_A}{(1-z)_+} \quad ext{per } z
ightarrow 1$$
 $P_{gg}
ightarrow rac{2C_A}{z} \qquad P_{gq}
ightarrow rac{2C_F}{z} \qquad ext{per } z
ightarrow 0$ $P_{qq}(1-z) = P_{gq}(z) \quad ext{simmetria} \quad z
ightarrow 1-z$

ZEUS



Le violazioni di scaling sono:

- ullet Positive a piccolo x
- Leggermente negative a grande x

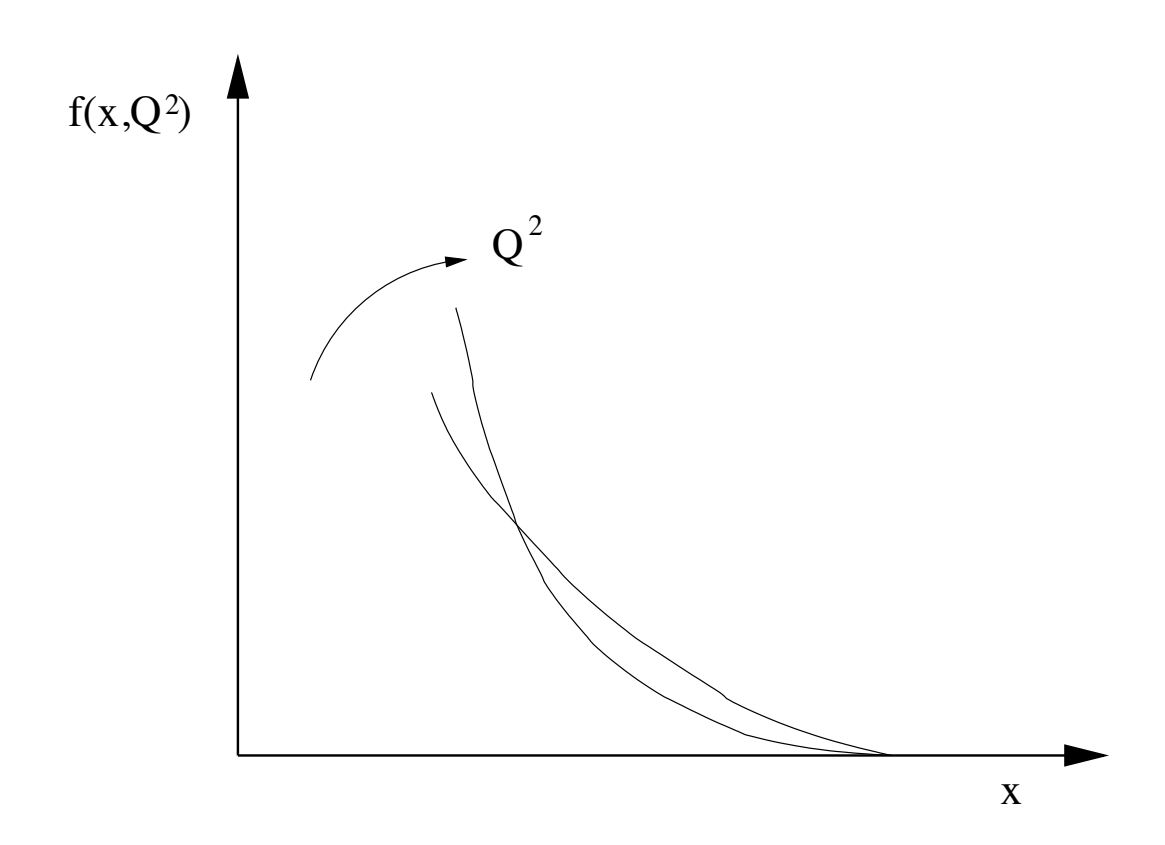
Infatti

$$\gamma_{ab}(N) = \int_0^1 P_{ab}(x) x^{N-1}$$

 \Rightarrow la regione di piccoli x corrisponde a $N\sim {\bf 1}$ mentre $x\to {\bf 1}$ seleziona grandi N

$$\gamma_{gg} \sim rac{2C_A}{N-1} \quad ext{per } N \sim 1$$

 $\gamma_{aa} \sim -2C_a \log N$ a grandi N



All'aumentare di Q^2 l'effetto principale è lo spostamento dei partoni da x più grandi a x più piccoli

48

Soluzione approssimata dell'equazione di AP

Consideriamo per semplicità il caso di non singoletto $f=q_i-q_j$

Nello spazio dei momenti l'equazione di AP diventa:

$$Q^{2} \frac{\partial f_{N}}{\partial Q^{2}} = \frac{\alpha_{S}(Q^{2})}{2\pi} \gamma_{qq}(N) f_{N}$$

Usando per α_S la sua espressione a un loop si ottiene

$$f_N(Q^2) = \left(\frac{\alpha_S(Q_0^2)}{\alpha_S(Q^2)}\right)^{\frac{\gamma_{qq}}{2\pi\beta_0}} f_N(Q_0^2)$$

Vediamo ora la forma della soluzione nei due limiti

Grandi x

A grandi x l'evoluzione è dominata da

$$P_{aa} \sim 2C_a \left(\frac{1}{1-x}\right)_+$$

per calcolarne i momenti possiamo usare

$$x^{N-1} - 1 \sim -\theta(1 - x - 1/N) \tag{3}$$

Infatti la funzione x^{N-1} per grandi N è nulla quasi ovunque tranne che per x>1-1/N

$$\Rightarrow \int_0^1 dx \frac{x^{N-1} - 1}{1 - x} \sim -\int_0^{1 - 1/N} \frac{dx}{1 - x} = -\log N$$

E quindi

$$\gamma_{aa}(N) \sim -2C_a \log N$$

Supponiamo ora che alla scala Q_0^2 la distribuzione abbia la forma

$$f(x, Q_0^2) = (1 - x)^{a(Q_0^2)}$$

usando l'approssimazione (3) si ottiene

$$f_N(Q_0^2) \sim rac{1}{N^{1+a(Q_0^2)}}$$

e quindi la soluzione dell'equazione diventa

$$f_N(Q^2) \sim \left(\frac{1}{N}\right)^{1+a(Q_0^2)} \left(\frac{\alpha_S(Q_0^2)}{\alpha_S(Q^2)}\right)^{-\frac{C_a}{\pi\beta_0}\log N}$$

$$= \left(\frac{1}{N}\right)^{a(Q_0^2)+1+\frac{C_a}{\pi\beta_0}\log\frac{\alpha_S(Q_0^2)}{\alpha_S(Q^2)}}$$

e quindi

$$f(x,Q^2) \sim (1-x)^{a(Q_0^2) + \frac{C_a}{\pi \beta_0} \log \frac{\alpha_S(Q_0^2)}{\alpha_S(Q^2)}}$$

 \Rightarrow a grandi x la distribuzione tende a zero più rapidamente all'aumentare di Q^2

Piccoli x

In questa regione l'evoluzione è dominata dalla dimensione anomala del gluone

$$P_{gg} = 2C_A \left(\frac{x}{(1-x)_+} + \frac{1-x}{x} + x(1-x) \right) + \beta_0 \delta(1-x) \sim \frac{2C_A}{x}$$

La soluzione dell'equazione per i momenti della densità del gluone è quindi

$$g_N(Q^2) = g_N(Q_0^2) \left(\frac{\alpha_S(Q_0^2)}{\alpha_S(Q^2)}\right)^{\frac{C_A}{\pi\beta_0(N-1)}}$$

Prendendo la trasformata di Mellin inversa

$$\begin{split} x\,g(x) &= \frac{1}{2\pi i} \int dN x^{-(N-1)} g_N \\ &= \frac{1}{2\pi i} \int dN g_N(Q_0^2) \exp\left\{-(N-1)\log x + \frac{C_A}{\pi\beta_0(N-1)}\log\frac{\alpha_S(Q_0^2)}{\alpha_S(Q^2)}\right\} \\ &\equiv \frac{1}{2\pi i} \int dN g_N(Q_0^2) \exp\left\{f(N-1)\right\} \end{split}$$

dove

$$f(\omega) = A\omega + \frac{B}{\omega}$$
 $A = \log \frac{1}{x}$ $B = \frac{C_A}{\pi \beta_0} \log \frac{\alpha_S(Q_0^2)}{\alpha_S(Q^2)}$

Quando A e B sono grandi $(x \to 0 \ Q^2 \to \infty)$ l'integrale può essere stimato col metodo del punto sella:

$$\frac{\partial f}{\partial \omega} = 0 \Rightarrow \omega = \sqrt{B/A}$$

e quindi

$$f(N-1) = 2\sqrt{AB} + \mathcal{O}(N-N_0)^2$$
 $N_0 = 1 + \sqrt{B/A}$

L'andamento approssimato della densità del gluone è allora

$$x g(x) \sim \exp \sqrt{\frac{4C_A}{\pi \beta_0}} \log \frac{\alpha_S(Q_0^2)}{\alpha_S(Q^2)} \log \frac{1}{x}$$

ullet Forte crescita del gluone a piccolo x

Più rapida di qualsiasi potenza di $\log \frac{1}{x}$ ma più lenta di qualsiasi potenza di 1/x

• La velocità di crescita è tanto maggiore quanto più grande è \mathcal{Q}^2

$$d_{\mu\nu}(p-k) = -g_{\mu\nu} + \frac{(p-k)_{\mu}n_{\nu} + (p-k)_{\nu}n_{\mu}}{(p-k) \cdot n}$$

$$i \qquad k$$

$$n^{\mu}d_{\mu\nu}(p-k) = 0 \quad (p-k)^{\mu}d_{\mu\nu}(p-k) = 0$$

parametrizzazione di Sudakov in termini di p e n

$$k^{\mu} = zp^{\mu} + k_T^{\mu} + \frac{k^2 - k_T^2}{2zp \cdot n} n^{\mu}$$
$$(p - k)^{\mu} = (1 - z)p^{\mu} - k_T^{\mu} - \frac{k_T^2}{2(1 - z)p \cdot n} n^{\mu}$$

Relazioni utili:

i)
$$(p-k)^2 = 0 \implies k^2 = 2p \cdot k = \frac{k^2 - k_T^2}{z} \implies k^2 = \frac{k_T^2}{1-z}$$

$$ii) \ p_{\mu}d^{\mu\nu} = k_{\mu}d^{\mu\nu} = zp_{\mu}d^{\mu\nu} + k_{T\mu}d^{\mu\nu}$$

$$\Rightarrow p_{\mu}d^{\mu\nu} = \frac{k_{T\mu}}{1-z}d^{\mu\nu}$$

$$iii) \ p_{\mu}p_{\nu}d^{\mu\nu} = \frac{k_{T\mu}}{1-z}d^{\mu\nu}\frac{k_{T\nu}}{1-z} = -\frac{k_{T}^{2}}{(1-z)^{2}}$$

$$\Rightarrow p_{\mu}p_{\nu}d^{\mu\nu} = -\frac{k^{2}}{1-z}$$